



ABDRUCK
AUS DEN BERICHTEN DER MATHEMATISCH-PHYSISCHEN KLASSE
DER SÄCHSISCHEN AKADEMIE DER WISSENSCHAFTEN ZU LEIPZIG
LXXXIX. BAND

SITZUNG VOM 24. MAI 1937

Die in den Jahren
1931 bis 1935 in Leipzig
und im Observatorium am Collmberg
aufgezeichneten Erdbeben

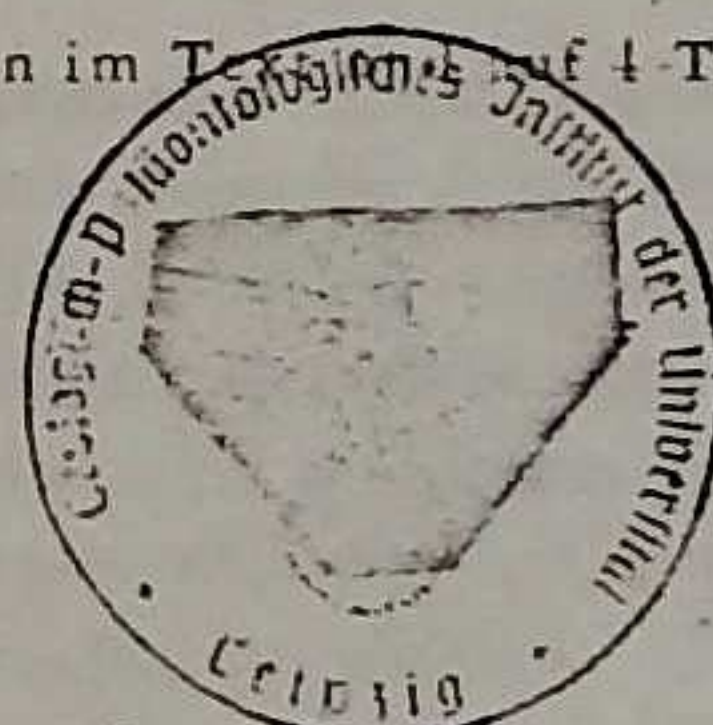
Druck der August Pries GmbH in Leipzig

IV. Bericht
der Erdbebenwarte des Geophysikalischen Instituts
der Universität Leipzig,
zugleich letzter Bericht dieser Serie

Von

L. WEICKMANN und P. MILDNER

Mit 14 Figuren im Text und auf 4 Tafeln



This book was donated to the ISC
from the collection of
Professor Nicolas N Ambraseys
1929-2012

S. HIRZEL / LEIPZIG 1937



AUS DEN BERICHTEN DER MATHEMATISCH-PHYSISCHEN KLASSE
DER SÄCHSISCHEN AKADEMIE DER WISSENSCHAFTEN ZU LEIPZIG
LXXXIX. BAND

SITZUNG VOM 24. MAI 1937

Dec 1936 - January
(1937)

Die in den Jahren
1931 bis 1935 in Leipzig
und im Observatorium am Collmberg
aufgezeichneten Erdbeben

IV. Bericht
der Erdbebenwarte des Geophysikalischen Instituts
der Universität Leipzig,
zugleich letzter Bericht dieser Serie

Von

L. WEICKMANN und P. MILDNER

Mit 14 Figuren im Text und 4 Tafeln



This book was donated to the ISC
from the collection of
Professor Nicolas N Ambraseys
1929-2012

S. HIRZEL / LEIPZIG 1937



ABDRUCK

AUS DEN BERICHTEN DER MATHEMATISCH-PHYSISCHEN KLASSE DER
SÄCHSISCHEN AKADEMIE DER WISSENSCHAFTEN ZU LEIPZIG.
LXXXIX. BAND.

SITZUNG VOM 24. MAI 1937.

Die in den Jahren 1931 bis 1935 in Leipzig und im Ob-
servatorium am Collmberg aufgezeichneten Erdbeben.

IV. Bericht
der Erdbebenwarte des Geophysikalischen Instituts der Universität Leipzig:
zugleich letzter Bericht dieser Serie.

Von

L. Weickmann und P. Mildner.

Mit 14 Figuren im Text und auf 4 Tafeln.

Im letzten, III. Bericht der Erdbebenwarte des Geophysikalischen Instituts der Universität Leipzig wurden die Registrierungen der Jahre 1929 und 1930 behandelt. In diesem wie in früheren Berichten wurde darauf hingewiesen, daß die Verlegung des Leipziger Seismographen in eine mikroseismisch weniger gestörte Gegend ein dringendes Bedürfnis war. Im Jahre 1931 war zwar mit dem Bau eines Geophysikalischen Observatoriums am Collm bei Oschatz begonnen worden, doch zog sich die Fertigstellung desselben infolge finanzieller Schwierigkeiten noch mehrere Jahre hin. Der Bau des geplanten Erdbebenkellers konnte erst im Sommer des Jahres 1934 in Angriff genommen werden. Die Neuaufstellung des Leipziger Seismographen erfolgte daselbst im Dezember 1934.

An dem neuen Aufstellungsort sind in den Registrierungen des Wiechertschen Horizontalseismographen keinerlei durch Straßenverkehr, Maschinenerschütterungen oder ähnliche Einflüsse verursachte mikroseismische Störungen feststellbar. Die in Leipzig besonders während der Tagesstunden mitunter sehr kräftige kurzperiodische mikroseismische Bewegung, durch die die Erkennung feinerer Bebenereignisse vielfach sehr erschwert, wenn nicht unmöglich gemacht wurde, fehlt hier gänzlich. Die Verbesserung der Registrierungen kommt deutlich in der größeren Anzahl von Aufzeichnungen auch schwächerer seismischer Vorgänge zum Ausdruck (vgl. die Zahl der Aufzeichnungen aus der zweiten Hälfte des Jahres 1935 mit der der vorhergehenden Jahre). (Vgl. Fig. 1.)

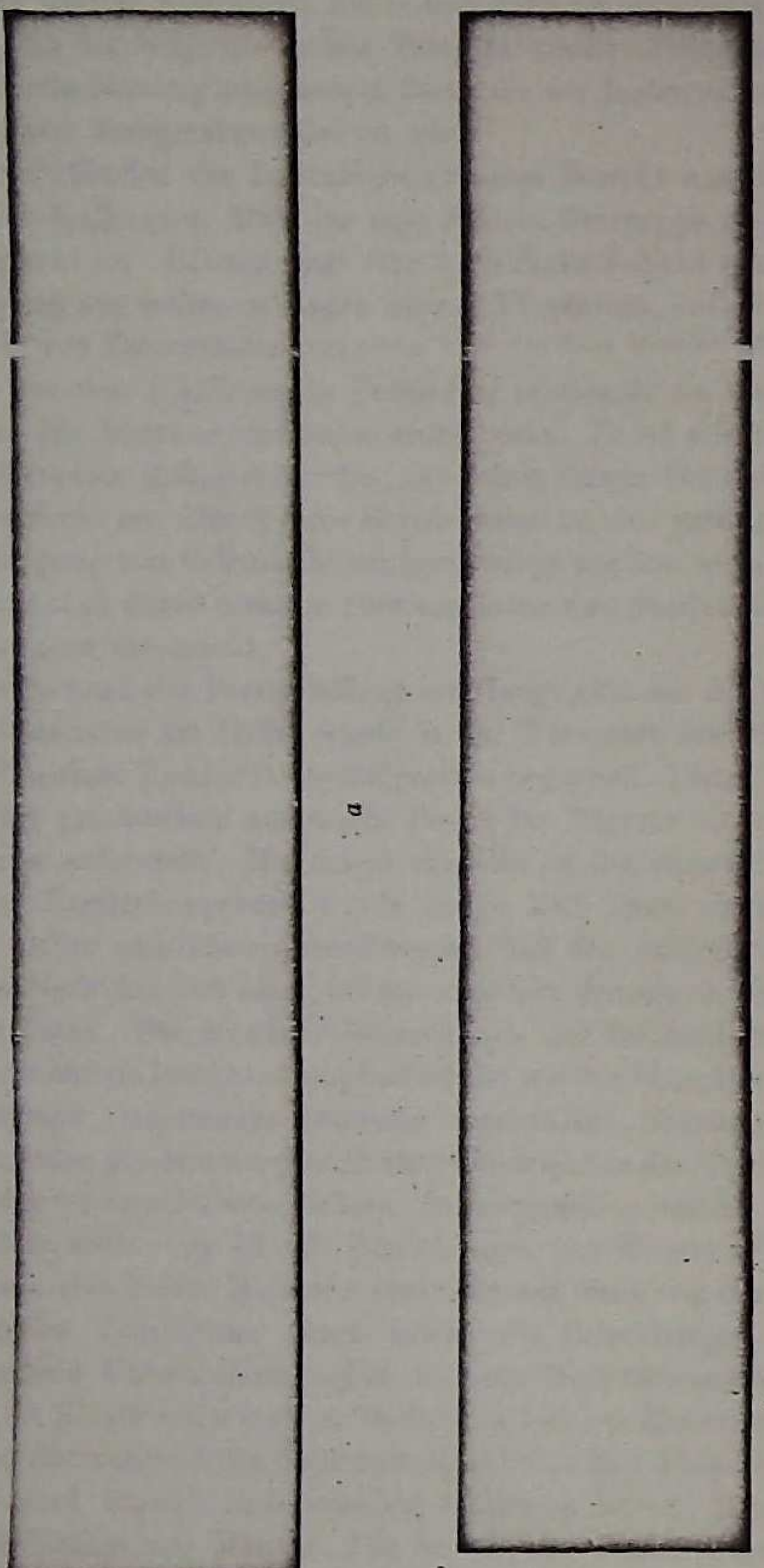


Fig. 1.
Ausschnitt aus der Registrierung der NS-Komponente des Wiechertschen Horizontalseismographen

a) vom 21. 7. 1931 aufgezeichnet in Leipzig; b) vom 26. 7. 1935 aufgezeichnet im Observatorium Collm.

Die Seismographen haben jetzt in einem Erdbebenhause Aufstellung gefunden, das vom Hauptgebäude des Observatoriums etwa 100 m entfernt ist und inmitten eines hohen Kiefernwaldes liegt. Die Instrumentensockel sind auf den gewachsenen durch die Verwitterung nicht angegriffenen Grauwackenfelsen gegründet. Dieser wurde in etwa $2\frac{1}{2}$ m Tiefe angetroffen. Die Sockel bestehen zuunterst aus einer etwa 2 m dicken Schicht von Zementbeton, auf die eine Schicht von Hartbrandsteinen und zuoberst eine Klinkerschicht aufgemauert wurde. Sie stehen mit der Verwitterungszone der Grauwacke und mit dem darüberliegenden Erdreiche des Bauuntergrundes in keiner Beziehung. Rund um die Sockel herum ist ein etwa 2 cm breiter Zwischenraum gelassen worden. Die so entstandenen Spalten zwischen Fußboden und Sockeln sind oberflächlich durch dünne Gummiplatten zugedeckt worden.

Das Erdbebenhaus (Fig. 2) besteht aus einem durch Doppeltüren zugänglichen Vorräum, der mit zwei Fenstern versehen und in zwei kleinere Räume unterteilt ist. In dem einen ist die Berußungsanlage untergebracht, der andere dient zur Aufbewahrung berußter Streifen.

Der Instrumentenraum ist etwa 6 m lang und 5 m breit. In ihm sind parallel zur NW-Wand drei 70 cm hohe Instrumentenpfeiler für die Aufstellung von Benioff-Apparaten untergebracht und längs der gegenüberliegenden Wand zwei größere bis wenig über den Fußboden reichende Pfeiler. Auf einem derselben steht der Wiechertsche Horizontalseismograph.

Die Wände dieses Raumes bestehen aus zwei Ziegelmauern, die in einem Abstand von 12 cm auf einer gemeinsamen Gründung emporgeführt sind. Der Zwischenraum zwischen den beiden Mauern ist mit einer 10 cm dicken Torfoleumschicht ausgefüllt, so daß ein 2 cm breiter Luftzwischenraum verbleibt. Die Decke ist etwa 35 cm dick. Sie enthält eine 10 cm dicke Torfinnullschicht und drei Lagen je 5 cm dicke Torfoleumleichtbauplatten. Darüber ist ein flachgeneigtes mit Aluminiumpappe gedecktes Dach angebracht.

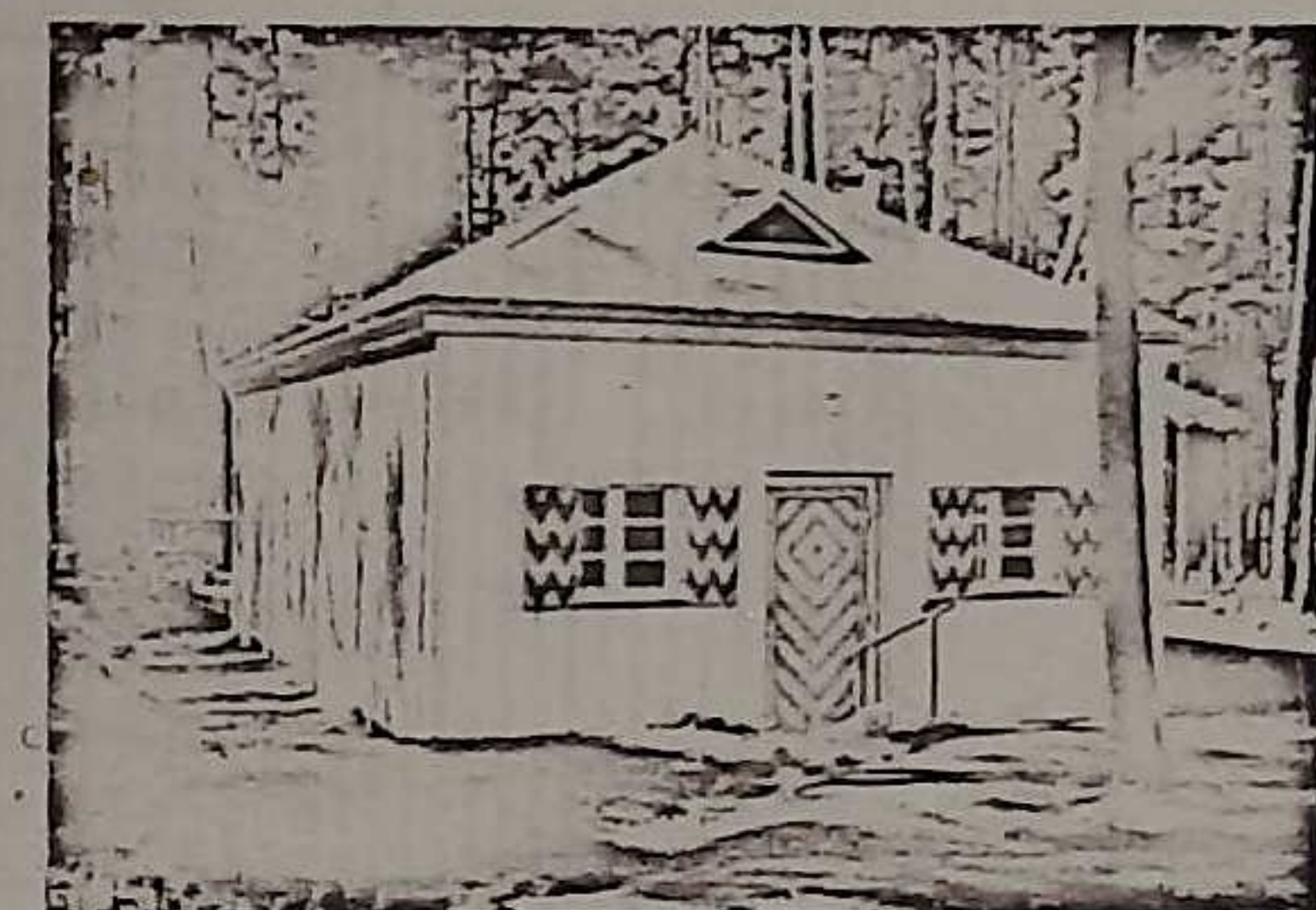


Fig. 2.

Erdbebenhaus des Geophysikalischen Observatoriums am Collm.

Obwohl durch diese Konstruktion bereits eine ganz gute thermische Isolierung erreicht worden ist, hat es sich doch als notwendig erwiesen, zur Ausschaltung der langperiodischen Temperaturschwankungen eine automatische elektrische Heizung einzubauen, durch die der Instrumentenraum auf nahezu konstanter Temperatur gehalten wird.

Der Fußboden des Instrumentenraumes besteht aus einer 12 cm dicken Schicht Kalkbeton, über der eine Schicht Teerpappe als Feuchtedämmung angebracht ist. Hierauf liegt eine 3 cm dicke Schicht einer Erschütterungs-dämmung aus mehreren Lagen dünner Filzplatten, auf der eine 12 cm dicke Schicht von Zementbeton mit einer 3 cm starken Estrichschicht „schwimmt“. Diese obersten Schichten des Fußbodens reichen an die Wände des Gebäudes und an die Instrumentensockel nicht heran. Es ist allenthalben ein kleiner Zwischenraum gelassen worden, der durch dünne Gummiplatten oberflächlich verdeckt ist. Durch diese Konstruktion ist eine gute Isolierung gegen die Übertragung von Geherschüttungen erzielt worden, so daß ein Betreten des Raumes auch durch mehrere Personen keine wesentlichen Störungen der Aufzeichnungen verursacht.

Bereits nach der Fertigstellung des Hauptgebäudes des Geophysikalischen Observatoriums am Collm wurde in der Werkstatt des Observatoriums mit dem Bau eines Benioff-Vertikalpendels begonnen. Dieses Instrument wurde zunächst provisorisch auf einem Pfeiler im Experimenterraum des Hauptgebäudes aufgestellt. Mit einem ebenfalls in der eigenen Werkstatt hergestellten Registrierapparat wurde einige Zeit hindurch nachts registriert. Dabei zeigte sich überraschenderweise, daß der Aufstellungsort doch nicht in dem Maße frei von allen mikroseismischen Störungen war, wie man es erwartet hatte. Der Benioff-Seismograph, der für kurzperiodische Schwingungen mehr als 100 mal so empfindlich ist wie der Wiechertsche Horizontalseismograph, registrierte zeitweise regelmäßige Schwingungen von etwa 150 Perioden pro Minute, die offenbar durch eine in der Umgebung befindliche Maschine verursacht sein mußten. Im allgemeinen enthält die Registrierung außerdem noch etwa 18—20 Schwebungen pro Minute (Fig. 3). Es mußte also noch eine zweite Maschine existieren mit einer von der ersten etwas abweichenden Tourenzahl, durch welche die Schwebungen erzeugt wurden. Eine nähere Untersuchung ergab, daß die Hauptstörungen durch eine Maschine im Elektrizitätswerk zu Oschatz in 7,45 km Entfernung hervorgerufen werden, die während des Sommerhalbjahres in den Abendstunden in Betrieb gesetzt wird, um den Spitzenbedarf decken zu helfen. Diese Maschine läuft mit 150 Touren pro Minute. Die andere, die Schwebungen verursachende Maschine befindet sich im Elektrizitätswerk zu Wermisdorf in 5 km Entfer-

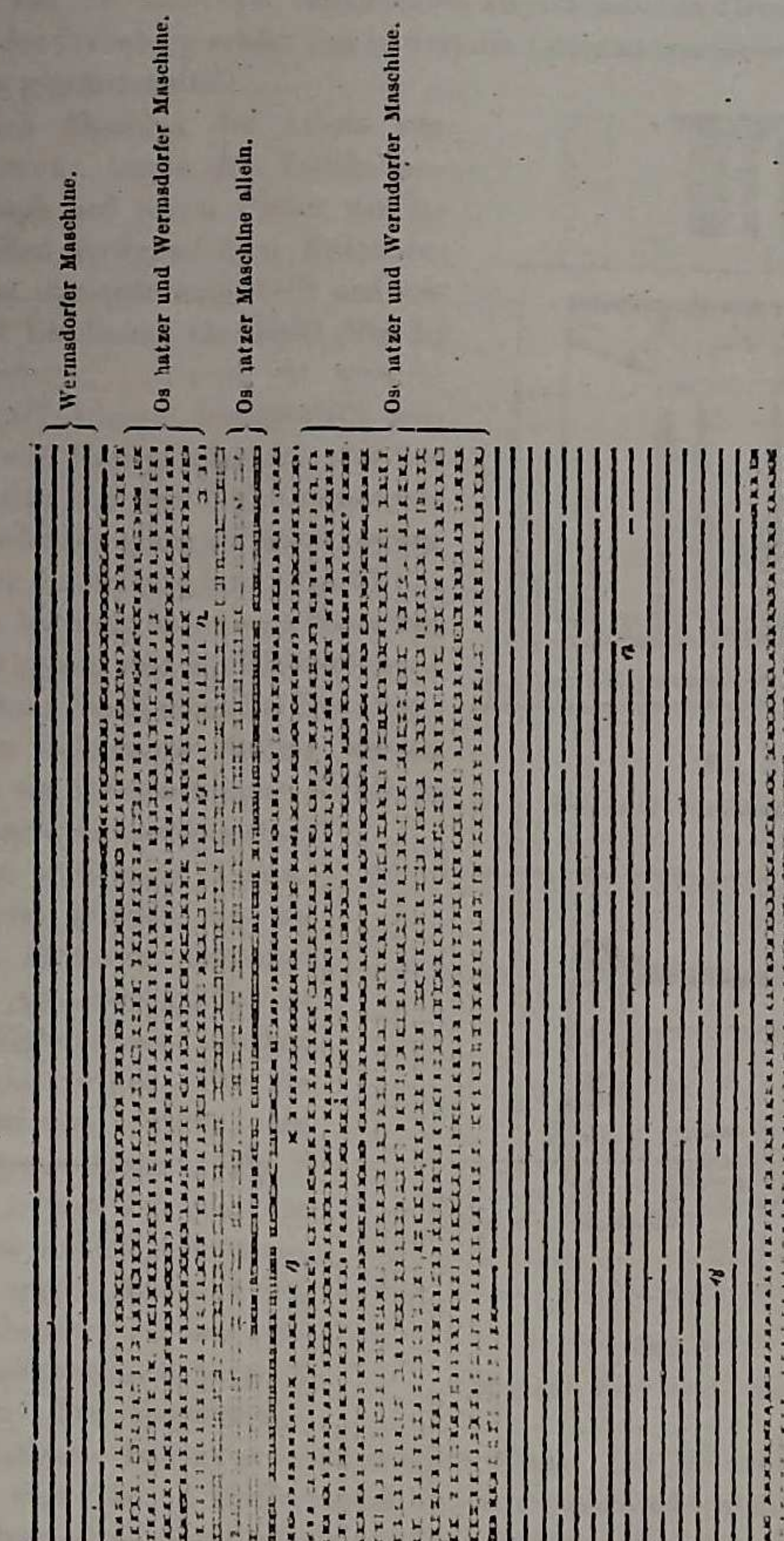


Fig. 3.
Ausschnitt aus der Registrierung des Benioff-Vertikalseismographen vom 25. 3. 1935.

nung und läuft etwa 170 Touren pro Minute. Die Ausbreitung der durch die Oschatzer Maschine verursachten Bodenunruhe wurde von G. Fritzsche¹⁾ mit dem Benioff-Vertikalpendel an einer größeren Anzahl von Punkten in der Umgebung von Oschatz untersucht. Die von ihm gefundene Verteilung der Amplituden der Vertikalbewegung ist in Figur 4 wiedergegeben. Man er-

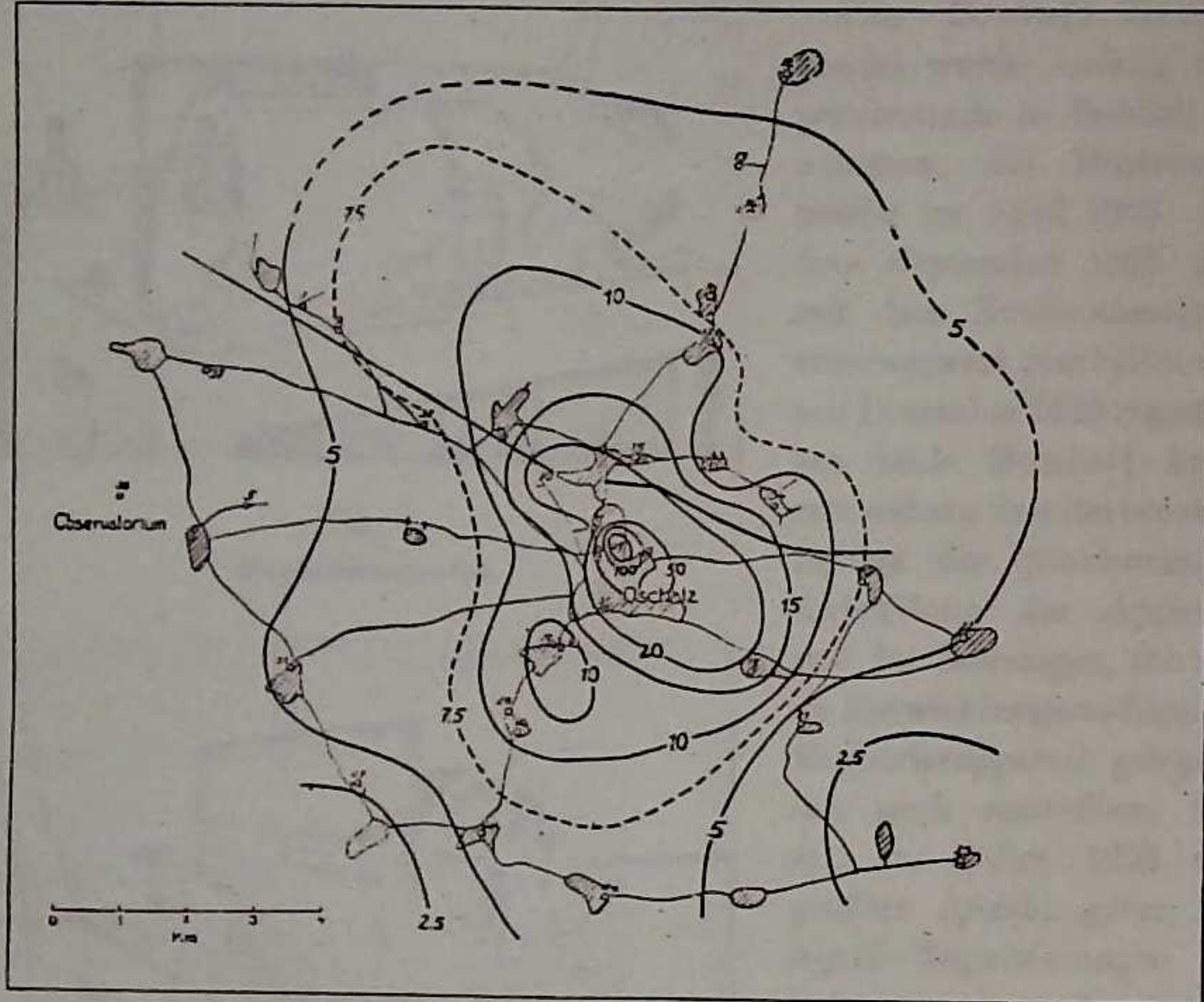


Fig. 4.

Amplituden der durch die Oschatzer Maschine verursachten vertikalen Bodenbewegung (10^{-6}).

kennt aus dieser Darstellung, daß die Linien gleicher Erschütterungsamplituden, die in $\mu\mu$ eingetragen sind, eine in der Richtung SE—NW langgestreckte Form haben, was darauf hindeutet, daß in dieser Richtung eine Verwerfung verläuft, durch welche die Bodenbewegung besser weitergeleitet wird als in

dem von SW nach NE verlaufenden altpaläozoischen Grauwackenzuge, zu dem der Collmberg gehört und in dem die Instrumentenpfeiler der Erdbeobachtungsstation gegründet sind.

Nach Abschluß der Arbeit von Fritzsche wurde der Vertikalseismograph auf einem Pfeiler des inzwischen fertiggestellten Erdbeobachtungshauses stationär aufgestellt und mit einem Glaskasten überdeckt (Fig. 5.) Unter dem Pfeiler war ein weiterer Benioff-Apparat fertiggestellt worden, ein Horizontalpendel, das zur Registrierung der EW-Komponente der Bodenbewegung auf einem zweiten Sockel Aufstellung fand (Fig. 6.).

Die Apparate haben eine Masse von je 100 kg und sind mit Oldämpfungen versehen. Die in ihnen bei Erschütterungen induzierten Ströme werden durch ein induktionsfreies Kabel in den Registrierraum des etwa 100 m entfernten Hauptgebäudes geleitet, wo sie durch Mollsche Galvanometer von etwa 1,2 Sekunden Eigenperiode sichtbar gemacht werden. Für die Registrierung wurde ein Zweitrommelapparat (Fig. 7 u. 8) gebaut, bei dem der Antrieb durch Synchronmotoren erfolgt, die durch den Betriebsstrom aus dem synchronisierten Netz gespeist werden. Die Registriegeschwindigkeit beträgt etwa 48 mm pro Minute. Die Zeitmarkierung erfolgt durch eine Uhr mit Rieflerpendel, die im temperaturkonstanten Uhrenraum des Observatoriums aufgestellt ist, über ein Präzisionsrelais, durch das durch

sämtliche Gebäude des Observatoriums Stromstöße vermittelt werden. Diese

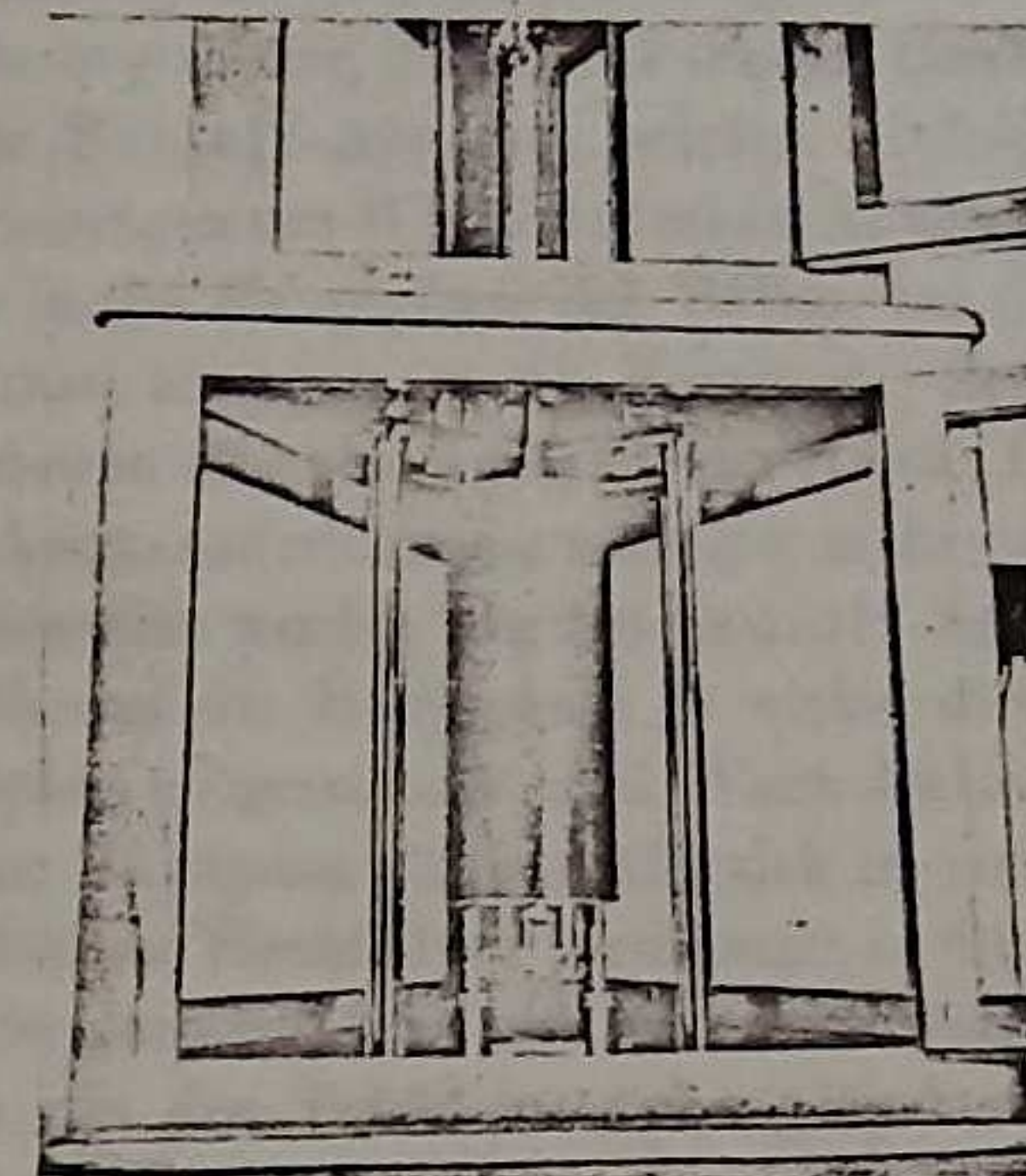


Fig. 5.
Benioff-Vertikalseismograph.

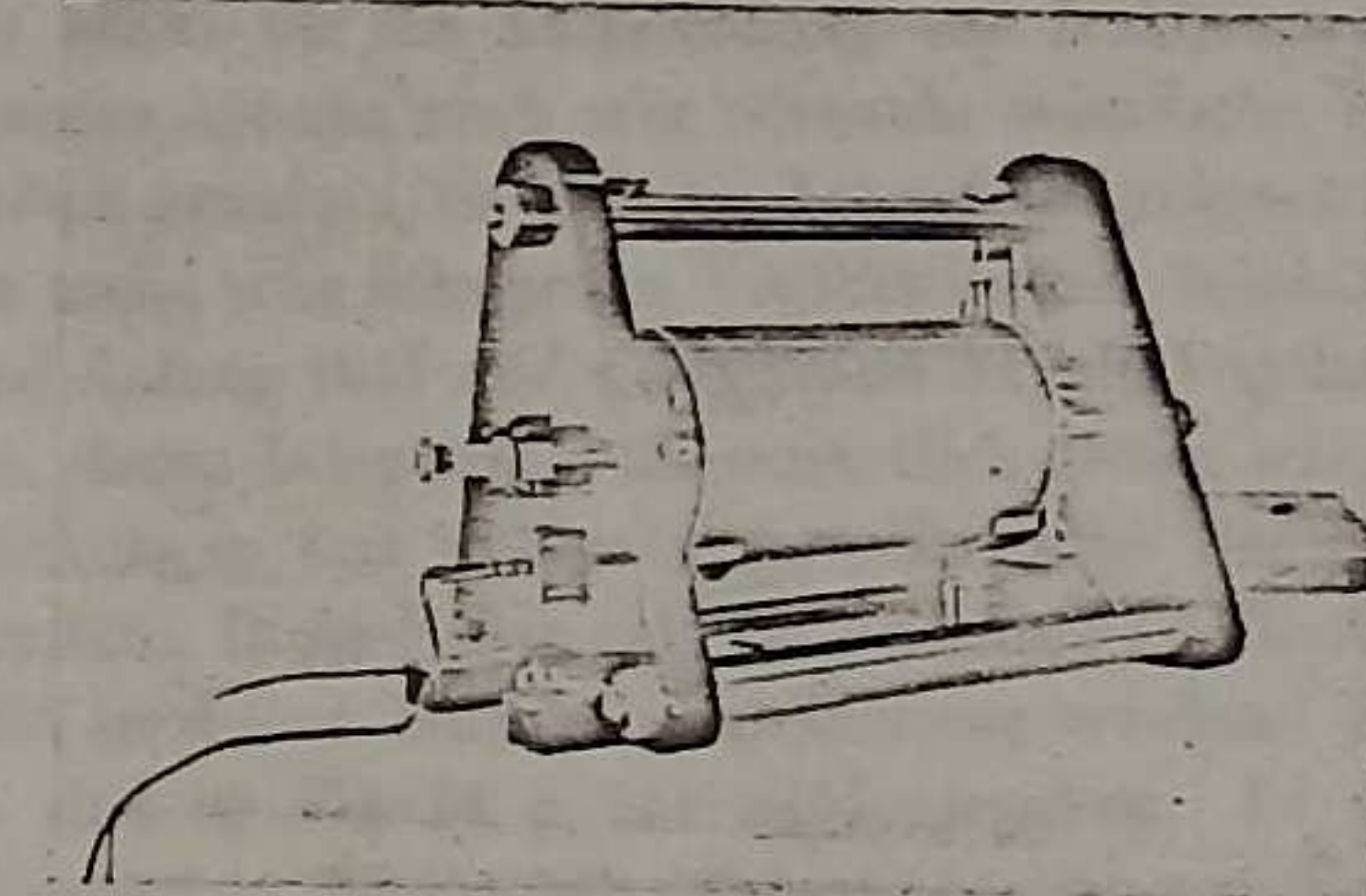


Fig. 6.
Benioff-Horizontalseismograph.

1) G. Fritzsche, Untersuchungen über die von Maschinen, Fahrzeugen und Wind hervorgerufenen Gebäudeerschütterungen nach Registrierungen eines Benioff-Vertikal-Seismographen. Veröffentl. d. Geophys. Inst. u. Observ. d. Univ. Leipzig. Observat. Sonderband I. Anhang.

bewirken bei dem Wiechertschen Apparate in der üblichen Weise eine Unterbrechung der Registrierung durch Abheben der Federn, bei den photographisch registrierenden Apparaten verursachen sie eine Verstärkung der Lichtintensität der Registrierlampchen.

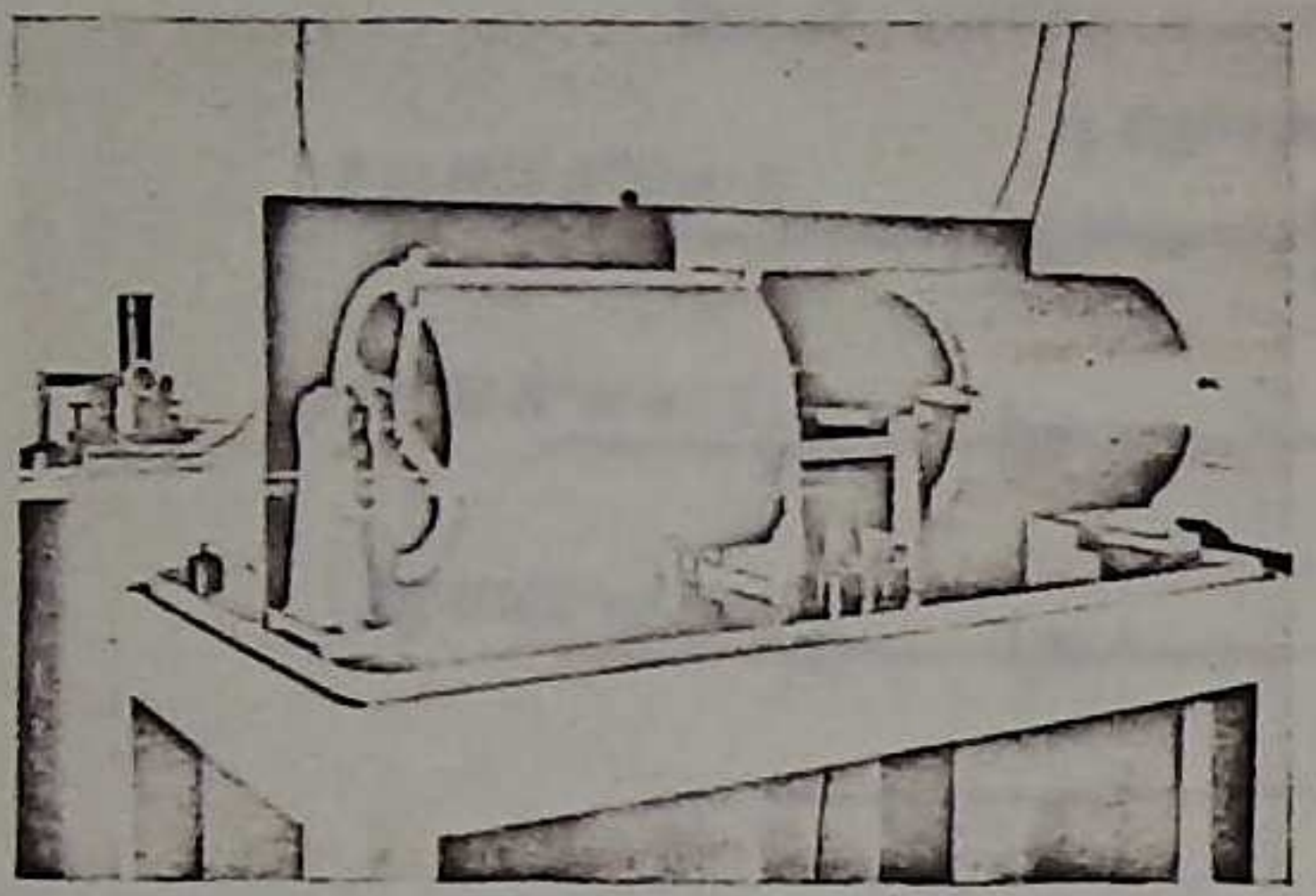


Fig. 8.
Registrapparat.

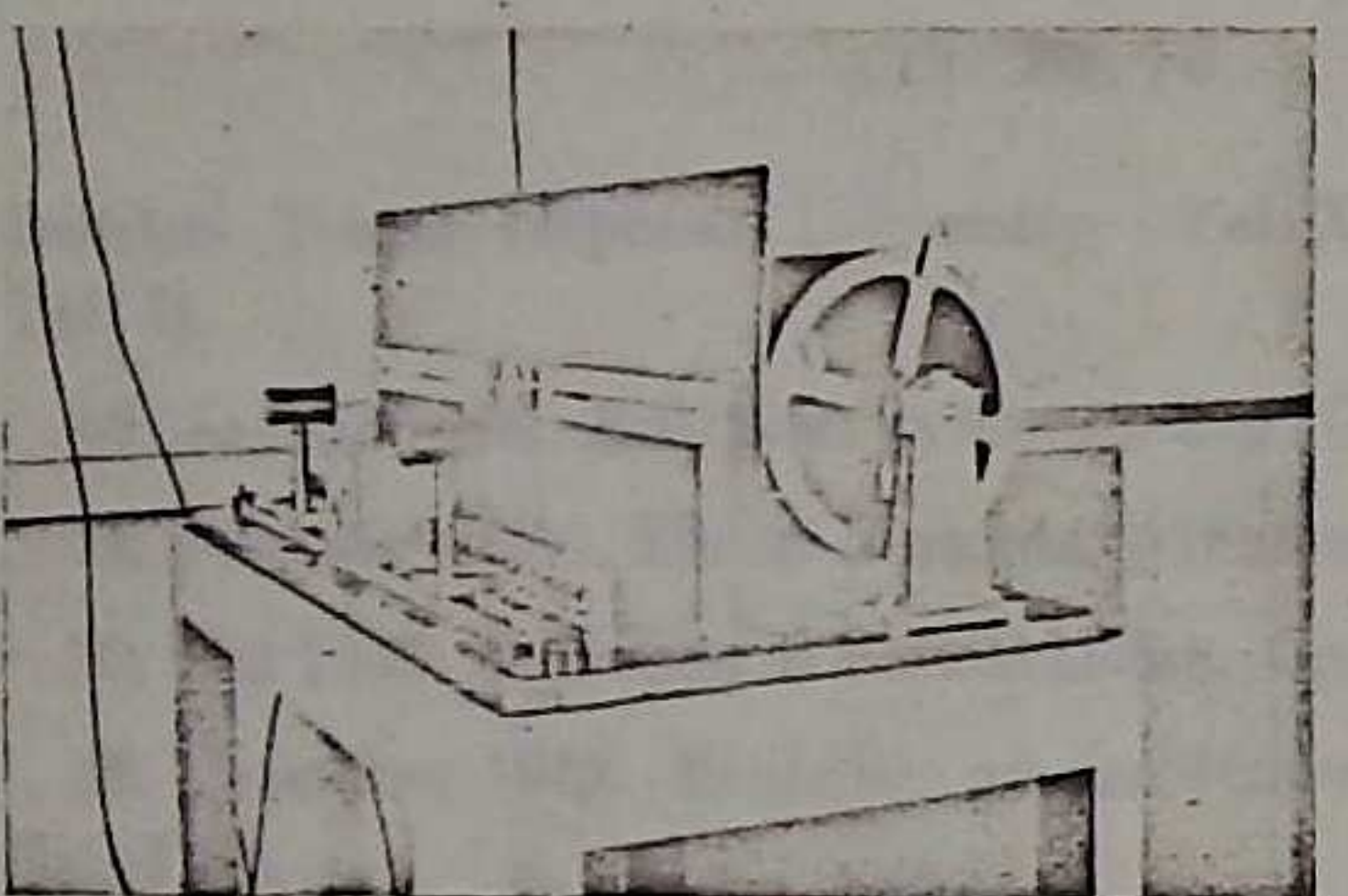


Fig. 7.
Registrapparat.

sich infolge der gänzlich verschiedenen Apparatekonstanten wesentlich von den Aufzeichnungen, die der Wiechertsche Horizontalseismograph liefert. Die Benioff-Apparate sprechen auf kurzperiodische Bodenbewegungen von etwa 0,5 Sekunden Periode mit maximaler Vergrößerung an, während die langperiodischen Schwingungen, die vor allem in der Hauptphase von Fernbebenregistrierungen auftreten, mit sehr viel schwächerer Vergrößerung wiedergegeben werden. Der Wiechertsche Horizontalseismograph hingegen

Die mit den Benioff-Apparaten erhaltenen Registrierungen unterscheiden

gibt bekanntlich die kurzperiodischen Bodenbewegungen ungefähr mit seiner statischen Vergrößerung wieder, die bei 250 liegt, erreicht für Perioden mittlerer Länge ein Maximum der Vergrößerung und gibt die sehr langen Perioden mit allmählich abnehmender Vergrößerung wieder, die aber in diesem Bereich ein Mehrfaches der Vergrößerung der Benioff-Apparate beträgt. Infolgedessen fallen in den Fernbebenregistrierungen des Wiechertschen Apparates die Diagrammaxima im allgemeinen in die Hauptphase der Beben, bei den Aufzeichnungen der Benioff-Apparate hingegen in die Vorphase. Beide Apparatetypen ergänzen sich infolgedessen oftmals in glücklicher Weise. Die bei schwächeren Beben in den Wiechert-Aufzeichnungen oft gar nicht oder sehr undeutlich erkennbaren Vorläuferwellen werden von den Benioff-Apparaten meist sehr gut registriert, während die Hauptphase in vielen dieser Fälle nur vom Wiechert-Seismographen aufgezeichnet wird. Wenn die Registrierungen beider Apparatetypen zur Verfügung stehen, läßt sich in vielen Fällen namentlich bei sehr fernen Beben die Herddistanz bestimmen, in denen sie mit einem Apparatetyp allein entweder nicht oder nur mit beträchtlicher Unsicherheit ermittelt werden kann. In den Tafeln im Anhang sind zwei Beispiele von Benioff- und Wiechert-Registrierungen ein und desselben Bebens wiedergegeben und zwar die Aufzeichnungen vom 30. Mai und 28. Dezember 1935 (Fig. 12 u. 13 auf Taf. III u. IV).

Die hohe Empfindlichkeit der Benioff-Apparate für kurzperiodische Bodenbewegungen macht sie vor allem für die Aufzeichnung von Nahbeben geeignet. Mit diesen Instrumenten können auch sehr schwache seismische Vorgänge erfaßt werden. Insofern erweisen sie sich als besonders geeignet für das Studium der bekannten meist sehr schwachen Vogtländischen Schwarmbeben. Gegen Ende 1936 und Anfang 1937 sind eine größere Anzahl Vogtlandbeben aufgezeichnet worden, deren Intensität außerordentlich gering war, so daß trotz vielfältiger Bemühungen nur wenige makroseismische Beobachtungen erhalten werden konnten. Diese Beben sind im Anschluß an die Aufzeichnungen des Jahres 1935 in diesen Bericht aufgenommen worden. Beispiele von Registrierungen sind in Fig. 14 S. 214 wiedergegeben. In den Registrierungen des Wiechertschen Horizontalseismographen ist von diesen Beben auch nicht die geringste Andeutung zu entdecken.

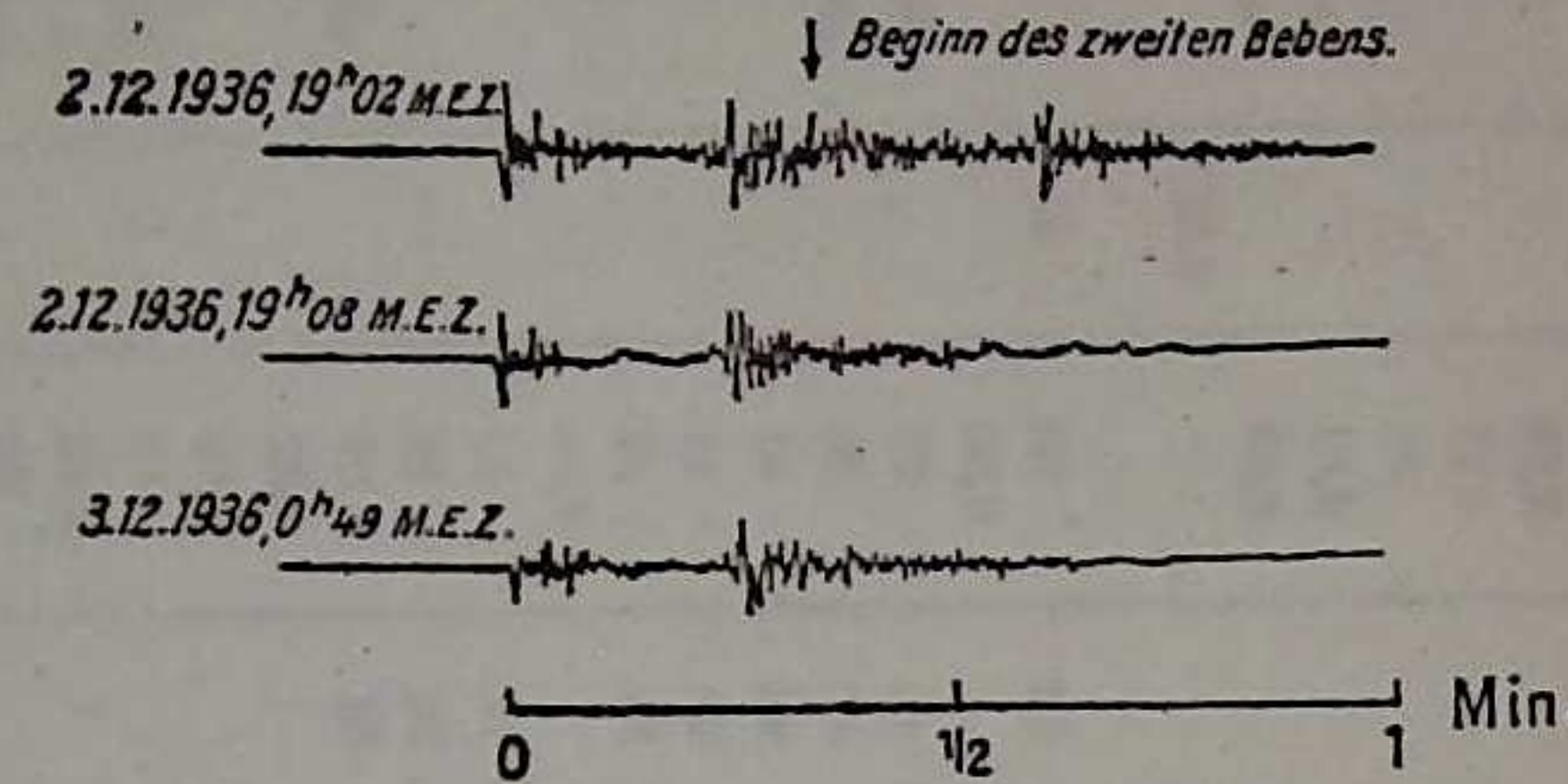
In der folgenden Tabelle sind die mittleren Konstanten des Wiechertschen Horizontalseismographen für die einzelnen Vierteljahre zusammengestellt und auch die Konstanten der Benioff-Apparate angegeben, die nur in sehr geringem Maße veränderlich sind.

In den Tafeln im Anhang dieses Berichtes sind einige besonders charakteristische Registrierungen reproduziert worden. Es handelt sich um die folgenden Beben:

L. Weickmann und P. Mildner:

2. März 1933. Herd im Pazifischen Ozean in der Nähe von Japan. $\varphi = 39,15^\circ \text{N}$, $\lambda = 144,40^\circ \text{E}$ nach T. Matuzawa: Seismometrische Untersuchungen des Erdbebens vom 2. März 1933. Bull. of the Earthquake Research

Benioff-Vertikalseismograph.



Vogtlandbeben (Herd Klingental)
2. Dez. 1936.

Fig. 14.

Institut Tokyo Imperial University. Vol. XIII (1935) S. 171 ff. (Fig. 9, Taf. I).

- 15. Januar 1934. Erdbeben in Nordindien (Gangesgebiet) (Fig. 10, Taf. II).
- 14. Februar 1934. Ein in Formosa gefühltes Beben (Fig. 11, Taf. II).
- 30. Mai 1935. Erdbeben in Belutschistan, Quetta zerstört (Fig. 12, Taf. III).
- 28. Dezember 1935. Erdbeben an der Südwestküste von Sumatra (Fig. 13, Taf. IV.).
- 22. Dezember 1936. Vogtlandbeben (Fig. 14 S. 214).

Mit diesem IV. Bericht der Erdbebenwarte des Geophysikalischen Instituts der Universität Leipzig soll die Reihe der in den Berichten der Math.-Phys. Klasse der Sächsischen Akademie der Wissenschaften zu Leipzig erschienenen Erdbebenbeobachtungen abgeschlossen werden. Die weiteren Mitteilungen über die im Observatorium aufgezeichneten Erdbeben werden in den Veröffentlichungen des Geophysikalischen Instituts und Oberservatoriums der Universität Leipzig erscheinen.

Die 1931—35 in Leipzig u. im Obs. am Collmberg aufgez. Erdbeben



215

Mittlere Konstanten des Wiechortsohen Horizontalseismographen für die einzelnen Vierteljahre.

Jahr	Viertel-jahr	EW			NS			r/T_0^2
		T_0	V	E	T_0	V	E	
1931	I	9,9	247	4,0	0,0069	10,1	259	4,5
	II	10,0	251	4,4	0,0060	10,2	253	4,7
	III	10,1	246	4,5	0,0059	10,2	255	5,0
	IV	10,2	237	5,2	0,0048	10,2	256	4,8
1932	I	10,2	232	4,7	0,0041	10,1	252	4,5
	II	10,0	250	4,7	0,0040	10,2	260	4,8
	III	10,1	262	4,8	0,0029	10,2	253	5,5
	IV	10,0	257	4,8	0,0050	10,2	255	5,0
1933	I	10,1	253	4,6	0,0040	10,2	258	4,7
	II	10,1	253	4,6	0,0049	10,2	258	4,8
	III	10,1	263	4,5	0,0065	10,2	256	5,0
	IV	10,0	260	4,3	0,0064	10,2	252	5,0
1934	I	10,1	247	4,4	0,0049	10,3	261	5,2
	II	10,1	256	4,3	0,0073	10,4	245	5,3
	III	10,2	256	4,5	0,0058	10,4	253	5,6
	IV	10,1	256	4,7	0,0029	10,4	248	5,2
1935	I	10,2	266	4,6	0,0058	10,0	260	5,4
	II	10,0	253	5,2	0,0031	10,0	260	4,5
	III	10,6	254	6,2	0,0047	10,3	208	5,2
	IV	10,0	266	5,6	0,0050	10,5	208	5,4

Benioff-Vertikal: Masse = 100 kg, $T_0 = 0,6 \text{ sec}$, Dämpfung kritisch. Eigenperiode des Galvanometers $T_g = 1,20 \text{ sec}$, Dämpfung kritisch. Entfernung Galvanometerspiegel Papier $L = 1000 \text{ mm}$. Konstante $b = 1500$; Bezeichnungsweise von Benioff: $V = 2 L b A$ = Dynamischer Vergrößerungsfaktor.

Benioff-Horizontal: $b = 3400$, $T_0 = 1,20 \text{ sec}$, im übrigen wie beim Vertikalpendel.

Datum 1931	Phase		M. Gr. Z.		T_E	T_N	A_E	A_N	Bemerkungen
		h	m	s	s	s	μ	μ	
2. Januar	e_1	00	36,0						
	m		37,0			8		2	
	e_2		41,0						
	e_3		44,5						
	M_1		46,0		16	16	8	8	
	M_2		50,0		20		7		
	F	01,0							
2. Januar	e_1	10	07,0						
	e_2		14,5						Durch Bodenunruhe besonders in NS gestört.
	eL		26,0						
	M_1		30,0		22	22	10	13	
	M_2		40		20	20	15	28	
	M_3		47		16	16	17	20	
	F	11,3							
4. Januar	eL	00	09,0						Gefühlt in Korinth.
	M_1		09,5		11	12	2	5	
	M_{2N}		10,0			11		2	
	M_{2E}		10,3		11		3		
	M_{3N}		11,6			11		2	
	M_{3E}		12,0		10		2		
	F	00,4							
11. Januar	e	19	26,5						
	F		35		7	7	2	2	

12. Januar	e_1	15	14,2		7	6	3	4	
	e_2		17,8			7			
	eL		18,4						
	M_{1N}		18,7			10		3	
	M_{1E}		19,2		10		4		
	F	15,6							
12. Januar	e_{1E}	20	54,8						
	e_1		59,3						
	eL		11,5						
	M_1		15		20	24	7	8	
	M_{2E}		19,0		16		4		
	M_{2N}		20,2			19		7	
	F	21,5							
15. Januar	iP	02	03	36		8—10			
	m		04,0			10			
	iPR_1		07	21			8		
	iPR_2		09	14			6		
	eS		14	02					
	i_N		14	35					
	i_E		14	42					
	m		15,2		8	7			
	i		15	37	12	8			
	i		16	25		8			
	iSR_1		20	10					
	e		25,0						
	eL		27,5						
	M_{1E}		35		34		300		
	M_{2N}		37,5			26		480	
	M_{2E}		40		26		425		

Beginn in EW unleserlich.
Herdgebiet Mexiko, Δ ca. 9600 km.

Datum 1931	Phase	M.Gr. Z.			T_E	T_N	A_E	A_N	Bemerkungen
		h	m	s	s	s	μ	μ	
15. Januar (Forts.)	M_{3N}	02	43,0			26		460	
	M_{3E}		48		19		230		
	F	05,2							
15. Januar	e_E	21	45,2						
	M_1		49		16	16	18	18	
	M_2		55,0		15	15	45	40	
	F	22,4							
15. Januar	e_L	23	39		20	22			Lange Wellen.
16. Januar	F	00,1							
16. Januar	e	19	43,3		8		2		
	eL	20	0,3						
	M_1		08		24		10		
	M_2		17		20		7		
	F	20,6							
17. Januar	eL	03	31,0						
	M_1		36		22	22	18	30	
	M_2		41		16	16	20	20	
	F	04,3							
20. Januar	e_{1E}	09	38						
	e_{2N}		45						
	F	10,2							

24. Januar	eL	14	33						
	M		44						
	F	15,1							
27. Januar	eP	20	20	14	10		2		
	iP		21	01	8		3		
	i		22	46	8				
	e		24,5						
	iS		29	06	10		12		
	ePS		30,0		9		12		
	e		33,9						
	e		34,5						
	{ e		36,5						
	{ m		37,0		14		22		
	eL_1		44,5						
	M_1		46		8, 34				
	eL_2		47,0						
	M_1		48,0		16		125		
	M_2		49,5		10		100		
	M_3		50,6		20		320		
	M_4		52,5		12		140		
	F	22,7							
28. Januar	e	06	00		8		1		In Stundenlücke.
	eL		01,8						
	M_1		02,1		14		40		
	M_2		03,3		10		10		
	F	06,5							
28. Januar	e_1	21	41,9						
	e_2		40,1						
					14	13	5	5	

Datum 1931	Phase	M. Gr. Z.			T_E	T_N	A_E	A_N	Bemerkungen
		h	m	s	s	s	μ	μ	
28. Januar (Forts.)	e_3	21	52,2		16		8		
	e_4		58,0						
	eL	22	10		24	24	85	80	
	M_1		20		22		60		
	M_{2E}		21,5		18	20	45	95	
	M_3		30,5						
2. Februar	F	23,5							
	e		07,0				6		
	e	23	11,5			16		4	Herdgebiet: Neuseeland. EW gestört.
	e		15,4						
	e		18,2						
	e		19,1			15		11	
	e		22,1						
	e		31,6						
	i		39	20		36		195	
	e		42,5			32		55	
	e		46,5						
	eL		55						
3. Februar	M_1	00	10,0			32		170	
	M_2		21,5			22		80	
	M_3		26,5			22		80	
	M_4		34,0			18		50	
	M_5		41,0			18		55	
	M_6		51,0			16		35	
10. Februar	F	02,0							
	eL	01	57						In EW nur angedeutet.
10. Februar	M_1	02	02,5			20		12	
	F	02,3							
	e	06	50,4						
	e_E		51,6						
	e		55,5						
	e		58	55		10		1	
	eL	07	18						
	M_1		23—25		ca. 32	ca. 32	30	40	
	M_2		31—33		22	24	22	22	
	M_3		42		20	17	35	48	
13. Februar	F	09							Im Streifenwechsel.
	e	01	47,9			6			
	e		53,6						
	e_N	02	01,0						
	{ e_E		02,4						
	{ m		03,0		16		8	2	
	e		05,7		12	12	3		
	e		19,0		32	32	40	40	
	eL		37						
	M_{1N}		54—55			28		40	
	M_2		58		24	24	26	24	
	M_3	03	11		20	20	32	33	
	M_4		14		20	20	40	43	
	M_5		17		18	20	55	25	
	M_6		21		18	18	20	20	
	F	04,2							

Datum 1931	Phase	M. Gr. Z.			T_E	T_N	A_E	A_N	Bemerkungen
		h	m	s	s	s	μ	μ	
14. Februar	e	14	22,5						
	e		36,5						
	eL		43						
	M_1		58		20	18	7	10	
	M_2	15	07		16	16	4	5	
	F		15,5						
16. Februar	e	19	30						Lange Wellen. Starke mikroseismische Bewegung.
	F		20,0						
27. Februar	e	10	02,0						NS durch starke mikroseismische Unruhe gestört.
	eL		35						
	M		38		22		15		
	F	11,0							
2. März	eP	02	38,0						In Minutenlücke.
	iP		38	08					
	i		38	15	ca. 1	ca. 1			
	e		59,5						
	eL	03	23						
	M_N		30—32			36—40			
	F	04,1					30		
7. März	iP	00	19	41	3	3	2	2	$\Delta_{S-P} = 1450$ km.
	iS		22	12		8			Herdgebiet: Mazedonien.
	eL		22,5						
	M_1		24,0		10	10	45	28	

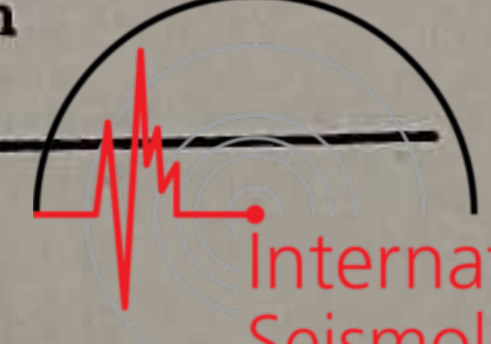
	M_2		25,0		9	10	40	25	
	M_3		26,0		10	8	30	20	
	M_4		27,7		8	8	15	20	
	F	00,7							
9. März	eP	04	01	00					$\Delta_{S-P} = 810$ km.
	iPR ₁		04	04					Herdgebiet Nordjapan.
	iS		10	55					
	iPS		11	23		8		11	
	eSR ₁		16,4						
	cL ₁		25						
	M_1		28		44	40—44	150	260	
	iL ₂		30,4						
	M_2		33,0		24	24	140	170	
	M_{3E}		34,3		19		430		
	M_4		38,2		16	18	270	450	
	M_5		41,1		16	16	350	400	
	M_6		44		14	14	75	110	
	M_7		47		14	14	55	100	
	F	06,3							
11. März	eE	12	57,7			16			
	eL	13	12		18		10		
	M_1		19						
	M_2		23,5		16	16	16	16	
	M_3		26,0		18	18	27	16	
	F	14,0							
12. März	eL	11	31						
	M_E		35		20		7		
	F	12,0							

L. Weickmann und P. Mildner:

Die 1931—35 in Leipzig u. im Obs. am Collenberg aufgez. Erdbeben

225

Datum 1931	Phase	M. Gr. Z.			T_E	T_N	A_E	A_N	Bemerkungen
		h	m	s					
18. März	e_1	08	24,0						
	e_2		31,5						
	e_3		37,7			16	16	12	
	e_4		41,7		16	16	8	12	
	e_{5E}		45,4		22		16		
	eL		54						
	M_{1N}		03			20		26	
	M_{1E}		05		18	18	34		
	M_2		08,0		18	17	50	32	
	M_3		13		17	17	58	38	
	M_{4N}		18			17		30	
	M_{4E}		21		17		30		
18. März	F	10,5							Im Streifenwechsel.
	e		20	38,5					
	eL		59						
	M_1		21	03	50	50	60	90	
	M_2			11	19	19	10	14	
19. März	F		21,9						
	eP	06	38,0						Sehr undeutlich. In Minutenlücke.
	eE		41,0						
	$\{ eS$		48,1						
	$\{ m$		48,3		8	8	8	6	
	eL		07	10,5					
	M_1			14	16	16	12	20	
	M_2			20	16	16	20	25	
28. März	F		07,9						
	e_{1E}	12	58,2						
	e_{2E}		04,8						
	e_3		08,1		14	14	18	9	
	eL		30						
	M_1		41		16	16	12	20	
28. März	F		14,5						
	eL	14	53						
	M_{1E}		58		18		3		
	M_{2E}		04		18		3		
6. April	F		15,5						
	eL	07	45						Im Streifenwechsel.
	F								
15. April	eP	17	04						
	eS		08,5	34	8		2		
	cL		11,5						
	M_1		13		18	14	16	6	
	M_2		15,5		16		12		
	F		17,9						
19. April	eL	02	51						
	M		24						
	F		03,5						
20. April	e	20	40						
	M		45,5						
	F		21,0						



International
Seismological
Centre

Datum 1931	Phase	M. Gr. Z.		T_E	T_N	A_E	A_N	Bemerkungen
		h	m	s	s	μ	μ	
24. April	e	17	:	43,0				
	eL	18		17				
	M_1			28	24	24	28	
	M_2			34	24	22	16	
	M_3			39	20	21	20	
	M_4			42	20	18	16	
	F	19,7						
27. April	iP	16		56	22			
	i			57	16			
	e			59	24	6	4	
	iS	17	00	59		11	8	
	i		01	39				
	i		02	04		12	45	
	eL			04				
	i			06	37			
	M_1			06,8		12	32	
	M_2			07,5		11	22	
	M_3			08,8		12	36	
	M_4			12,8		11	20	
	F	18,0						
20. Mai	iP	02	28	09				
	m			20	8	8	50	
	iPR ₁			51	6		30	
	iS		32	25	14	8	200	
	eL			33,6			100	
	M_1			36,5	16	16	380	525
	M_2			38,3	16	14	510	400
	M_3			39,5	15	14	430	560
	M_4			41,5	14	14	450	450
	M_5			45	13	13	180	180
	F	05,0						
7. Juni	iP	00	26	59				
	iE		27	16				
	iN			21				
	i			31				
	iN			44				
	iS		28	12				
	iN			15				
	iE			22				
	i			26				
	i(L)			35				
	M_1			29,4	8	9	8	16
	M_2			29,7	8	8	10	18
	F	00,8						
17. Juni	eL	12	54					
	M	13	04		12		2	
	F	13,3						
18. Juni	e	13	29					
	F	14,0						
27. Juni	e	19	05					
	F		20					

Datum	Phase	b	m	s	T_E	T_N	A E	A N	Bemerkungen
12. Juli	e E	17	09,5	33	41	18	18	16	16
13. Juli	e T	16	68	05	10	14	12	12	12
14. Juli	e N	11	35	07	23	8	8	2	2
15. Juli	e (S)	18	44	44	23	8	8	6	6
16. Juli	e T	12	50,0	02	24	20	10	10	10
17. Juli	e N	12	04,5	08	19	19	10	10	13
18. Juli	e P	18	42,4	43,3	24	20	10	10	13
19. Juli	e E	19,1	50,0	49	18	12	6	6	In NS sehr unregelmäßige Bewegung.
20. August	e	02	31	31	29	6	6	6	
21. August	e P	21	27	29	6	6	6	6	
22. August	e E	03	04,9	00	28	28	6	6	
23. August	e T	09	17,0	20	20	19	10	10	
24. August	e N	09	17,0	20	20	19	10	10	
25. August	e P	28	28	28	39	39	33	33	
26. August	e E	28	29	35	67	6	6	6	
27. August	e T	28	29	35	67	6	6	6	
28. August	e N	28	29	35	67	6	6	6	
29. August	e P	21	27	29	6	6	6	6	
30. August	e E	02	31	31	29	6	6	6	
31. August	e T	02	31	31	29	6	6	6	
1. September	e N	03	04,9	00	28	28	6	6	
2. September	e P	09	17,0	20	20	19	10	10	
3. September	e E	09	17,0	20	20	19	10	10	
4. September	e T	09	17,0	20	20	19	10	10	
5. September	e N	09	17,0	20	20	19	10	10	
6. September	e P	21	27	29	6	6	6	6	
7. September	e E	02	31	31	29	6	6	6	
8. September	e T	02	31	31	29	6	6	6	
9. September	e N	03	04,9	00	28	28	6	6	
10. September	e P	21	27	29	6	6	6	6	$\Delta S-P = 550 \text{ km}$, Herdegebiet: Pauri und Tadis, h Nepal. Stark und zerstört.
11. September	e E	02	31	31	29	6	6	6	
12. September	e T	02	31	31	29	6	6	6	
13. September	e N	03	04,9	00	28	28	6	6	
14. September	e P	21	27	29	6	6	6	6	
15. September	e E	02	31	31	29	6	6	6	
16. September	e T	02	31	31	29	6	6	6	
17. September	e N	03	04,9	00	28	28	6	6	
18. September	e P	21	27	29	6	6	6	6	$\Delta S-P = 790 \text{ km}$, Herdegebiet: Karmaschakta.
19. September	e E	02	31	31	29	6	6	6	
20. September	e T	02	31	31	29	6	6	6	
21. September	e N	03	04,9	00	28	28	6	6	
22. September	e P	21	27	29	6	6	6	6	
23. September	e E	02	31	31	29	6	6	6	
24. September	e T	02	31	31	29	6	6	6	
25. September	e N	03	04,9	00	28	28	6	6	
26. September	e P	21	27	29	6	6	6	6	
27. September	e E	02	31	31	29	6	6	6	
28. September	e T	02	31	31	29	6	6	6	
29. September	e N	03	04,9	00	28	28	6	6	
30. September	e P	21	27	29	6	6	6	6	
31. September	e E	02	31	31	29	6	6	6	
1. Oktober	e T	02	31	31	29	6	6	6	
2. Oktober	e N	03	04,9	00	28	28	6	6	
3. Oktober	e P	21	27	29	6	6	6	6	
4. Oktober	e E	02	31	31	29	6	6	6	
5. Oktober	e T	02	31	31	29	6	6	6	
6. Oktober	e N	03	04,9	00	28	28	6	6	
7. Oktober	e P	21	27	29	6	6	6	6	
8. Oktober	e E	02	31	31	29	6	6	6	
9. Oktober	e T	02	31	31	29	6	6	6	
10. Oktober	e N	03	04,9	00	28	28	6	6	
11. Oktober	e P	21	27	29	6	6	6	6	
12. Oktober	e E	02	31	31	29	6	6	6	
13. Oktober	e T	02	31	31	29	6	6	6	
14. Oktober	e N	03	04,9	00	28	28	6	6	
15. Oktober	e P	21	27	29	6	6	6	6	
16. Oktober	e E	02	31	31	29	6	6	6	
17. Oktober	e T	02	31	31	29	6	6	6	
18. Oktober	e N	03	04,9	00	28	28	6	6	
19. Oktober	e P	21	27	29	6	6	6	6	
20. Oktober	e E	02	31	31	29	6	6	6	
21. Oktober	e T	02	31	31	29	6	6	6	
22. Oktober	e N	03	04,9	00	28	28	6	6	
23. Oktober	e P	21	27	29	6	6	6	6	
24. Oktober	e E	02	31	31	29	6	6	6	
25. Oktober	e T	02	31	31	29	6	6	6	
26. Oktober	e N	03	04,9	00	28	28	6	6	
27. Oktober	e P	21	27	29	6	6	6	6	
28. Oktober	e E	02	31	31	29	6	6	6	
29. Oktober	e T	02	31	31	29	6	6	6	
30. Oktober	e N	03	04,9	00	28	28	6	6	
31. Oktober	e P	21	27	29	6	6	6	6	
1. November	e E	02	31	31	29	6	6	6	
2. November	e T	02	31	31	29	6	6	6	
3. November	e N	03	04,9	00	28	28	6	6	
4. November	e P	21	27	29	6	6	6	6	
5. November	e E	02	31	31	29	6	6	6	
6. November	e T	02	31	31	29	6	6	6	
7. November	e N	03	04,9	00	28	28	6	6	
8. November	e P	21	27	29	6	6	6	6	
9. November	e E	02	31	31	29	6	6	6	
10. November	e T	02	31	31	29	6	6	6	
11. November	e N	03	04,9	00	28	28	6	6	
12. November	e P	21	27	29	6	6	6	6	
13. November	e E	02	31	31	29	6	6	6	
14. November	e T	02	31	31	29	6	6	6	
15. November	e N	03	04,9	00	28	28	6	6	
16. November	e P	21	27	29	6	6	6	6	
17. November	e E	02	31	31	29	6	6	6	
18. November	e T	02	31	31	29	6	6	6	
19. November	e N	03							

Datum	Phase	M. Gr. Z.	h	m	s	T _E	T _N	A _E	A _N	Bemerkungen
11. August (Porta.)	F	ca. 00,5	07	28,0	08,0	12	02,8	02,8	12	Herdegebiet: Texas.
11. August	F		07	28,0	08,0	12	02,8	02,8	12	Herdegebiet: Texas.
18. August	iP	14	29	52	52	10	10	10	10	$\Delta s-p = 5300 \text{ km}$, Herdegebiet: Altai-gebirge. Nach Kew 50° N 92° E.
18. August	iP	14	29	52	52	10	10	10	10	$\Delta s-p = 5300 \text{ km}$, Herdegebiet: Altai-gebirge. Nach Kew 50° N 92° E.
18. August	eP	18	08	18,7	18,7	21	43	40	43	Purer eiles Beben.
24. August	eP	21	43	40	40	22	45	46	47	$\Delta s-p = 5100 \text{ km}$, Herdegebiet: Belut-Schibean. Vorphase in NS undutlich.
24. August	eP	21	43	40	40	22	45	46	47	$\Delta s-p = 5100 \text{ km}$, Herdegebiet: Belut-Schibean. Vorphase in NS undutlich.
25. August	eL	23,3	00	00	00	22	04,5	03	01,1	W- und W-Wellen.
25. August	eL	23,3	00	00	00	22	04,5	03	01,1	W- und W-Wellen.
26. August	eL	11	11	11	11	11	16,5	19,0	11,0	e M F
26. August	eL	11	11	11	11	11	16,5	19,0	11,0	e M F

Datum 1931	Phase	M. Gr. Z.			T_E	T_N	A_E	A_N	Bemerkungen
		h	m	s	s	s	μ	μ	
27. August	eP	15	35	40	9 u. 1	9 u. 1			$\Delta = 5100 \text{ km. Herdgebiet: Belutschistan.}$ $\text{In } NS \text{ undeutlich.}$
	iS		42	28			55		
	i		46	11	14				
	eL		51						
	M_1		58		17	16	165	210	
	M_2		59,7		14	12	115	115	
	M_3	16	01,5		15	14	300	135	
6. September	M_4		03		11	12	120	85	
	F	18,8							
	eE	08	08						Sehr undeutlich.
	e		13,0						
	eL		15,5						
	M_1		18,0		16	16	7	12	
	M_2		20		12	12	7	4	
8. September	M_3		22		11	11	8	5	
	F	08,9							
	eL	19	54,0						
	M	20	02		14	14	3	2	
9. September	F	20,3							
	e	20	(52)						
	e		55	46					
	e		56,7		10	10	2	3	
	e	21	03	17	7	8	3	3	
11. September	e		05,5		12	12	2	3	
	e								
	eN		09,0		8	8	2	1	
	eL		17			ca. 20			
	M_1		26						
	M_2		32		20	22	13	8	
	F	35.			16	17	10	13	
11. September	F	22,7							
	e	14	42						$\text{Spuren von Erdbebenwellen.}$
11. September	F	14,9							
	e	16	30,5						
	M		31,5		11	11	4	3	
21. September	F	16,7							
	e	02	32,8						$\text{Beginn sehr schwach.}$
	e		42	20					
	eL		59						
	$M_{1,E}$	03	06,0		16		17		
	M_2		09		16	13	20	13	
	M_3		11		14	11	18	10	
21. September	M_4		13		15	13	20	13	
	F	03,8							
	e	10	49,8						
	eL	11	09						
	M_1		13		18	20	15	20	
	M_2		15		16	16	21	29	
	M_3		18		12	13	13	22	
21. September	F	12,0							

atum 1931	Phase	M. Gr. Z.			T_E	T_N	A_E	A_N	Bemerkungen
		h	m	s	s	s	μ	μ	
25. September	e	06	13	12					
	e_E			28	8		2		
	e_E		17,0		10		4		In Minutenlücke.
	{ e_E		20	45	8/10				
	m		21,3		10		5		
	e_E		23	42	11		8		
	e		24	13	8	8	7	10	
	e_E		25,6		16		27		
	e		36,4		20				
	e_L		40						
	M_{1N}		52			25		55	
	M_{1E}		56,2		24		58		
	M_{2N}		58,5			22		135	
	M_{2E}		59,8		20		65		
26. September	M_{4N}	07	01			20		100	
	M_{4E}		03,0		20		65		
	M_{5N}		02,8			16		55	
	M_{5E}		04,9		20		60		
1. Oktober	F	09,0							
	e_L	20	48						In NS starke mikroseismische Bewegung.
	M_1		51		19		2		
	M_2		56		20		6		
1. Oktober	F	21,5							
	e	12	30						Schwache Spuren seismischer Wellen.
3. Oktober	F	13,1							
	e	19	34	39					Starke mikroseismische Bewegung.
	e		35	26					Herdgebiet: Salomon-Inseln. EW ge-
	e		36	19					stört.
	{ e			41					
	m		37,5			10		13	
	i		38,0			8/12		20	
	e		42	19		8		8	
	e		52,9						
	e		54,0			48/8			
	e		57	40					
	e		58,8			36			
	e	20	07,6						
	e_L		09						
3. Oktober	M_1		22			30		310	
	M_2		25,5			24		270	
	M_3		32			24		280	
	M_4		34,5			18		155	
	M_5		37,3			17		120	
	F	?							Geht in das folgende Beben über.
4. Oktober	e_L	23	01						
	M_{1E}		07		18		10		
	M_{1N}		00,5			22		16	
	M_2		14		18	20	10	15	
	M_{3N}		21			18		10	
4. Oktober	M_4	00	04		20	20	30	25	
	M_5		08		20	20	35	25	
	F	01,5							
5. Oktober	e	22	40,0						
	e_E		40	24					

Datum 1931	Phase		M. Gr. Z.		T_E	T_N	A_E	A_N	Bemerkungen
		h	m	s	s	s	μ	μ	
5. Oktober (Forts.)	e_N	22	40	29					
	e_E		42,0		8		9		
	e		45	23	9		5		
	e_E		46	45	11		6		
	e		48,6						Keine Hauptphase!
	m_E		50,0		10		9		
	F	23,6							
10. Oktober	e	00	39,5						Herdgebiet: Salomon-Inseln.
	e		41,5		8		2		$\Delta = 1400 \text{ km.}$
	e		42	34	7	7	6	5	
	e		43	46	11	11	6	7	
	e	01	00		ca. 45	ca. 45	60	80	
	e		04,6						
	eL		14						
	M_{1E}		25,9		24		130		
	M_{1N}		27,0			24		115	
	M_2		30,3		18	18	70	60	
	M_3		34		24	20	250		
	M_4		37		18	20	90	240	
	M_5		39		20	20	110	290	
	M_6		41,0			18		140	
	M_{1N}		44,0			18		150	
	F	05,5							
10. Oktober	e_N	17	06						
	M_1		14,5		17	17	24	12	

		M_2	16,0		14	16	25	20	
		F	18,0						
28. Oktober	eL	06	22						
	M_1		25,6		16	16	4	5	
	M_2		30		12	14	3	6	
	F	06,8							
1. November	eL	19	36						
	M_1		38		20	20	7	12	
	M_2		43		16	18	6	11	
	M_3		46		16	18	12	15	
	F	20,1							
2. November	e_E	00	55,6						In NS sehr undeutlich.
	eL	01	14						
	M_1		21		24		10		
	M_2		23		24		12		
	M_3		29		18		5		
	F	01,9							
2. November	iP	10	15	15	12	12	4	7	Herdgebiet: SüdJapan.
	ePR_1		18	24	16	15	6	8	$\Delta_{S-P} = 9300 \text{ km.}$
	ePR_2		21	50	18	18	10	14	
	iS		25	35	16		21		In NS schwach.
	i		26	13	20	20	28	24	
	eSR_1		31,0						
	m		32,5		34	34	90	95	
	eSR_2		34,7						
	m		35,6		18	18	28	30	
	e		40						

Datum 1931	Phase	M. Gr. Z.		T_E	T_N	A_E	A_N	Bemerkungen
		h	m	s	s	μ	μ	
2. November (Forts.)	eL	10	43,5		22	22	300	240
	M_1		47,6		18	20	220	225
	M_2		53,0		16	17	325	>500
	M_3		56		17	17	155	120
	M_4		59,0					
	e	11	43,1					
	M_1		53,0		14	14	22	22
	M_2		56,7		14	14	12	25
3. November	F	13,0						
	eL	17	00					
	M_1		04,5		18	14	7	4
	M_2		10		13	13	2	2
5. November	F	17,6						
	e	12	39,6					Beginn undeutlich.
	eL		44,2					
	M_1		49		12	12	22	18
	M_2		52,0		9	8	12	13
20. November	F	13,9						
	e	14	39,0					
	eL	15	19					
	M_1		27		20	22	7	16
	M_2		31		22	22	11	18
	M_3		34		22	22	10	22
	F	16,5						

24. November	e	09	35					Spuren seismischer Wellen.
	F	10,0						
25. Dezember	i_N	11	42	27				Nahbeben. Starke mikroseismische Bewegung.
	e_E			31				
	e_N		43	38				
	e_E			43				
	M_E		43	16	1		12	
	M_N		44	01		1		
	F		46,5				12	
1932								
2. Januar	e	23	40,0					
	e		43					
	e		44,1					
	M_{1E}		45		12		12	
	M_2		47		12	12	11	14
	F	00,0						
9. Januar	e	10	42,0					
	eL	11	17					
	M_1		28		18	20	11	4
	M_2		33		18	19	6	10
	F	12,1						
18. Januar	e	13	28					Spuren langer Wellen in starker mikroseismischer Bewegung.
	F		34					
27. Januar	e	19	51					
	eL		53					

Datum 1932	Phase	M. Gr. Z.			T_E	T_N	A_E	A_N	Bemerkungen
		h	m	s	s	s	μ	μ	
27. Januar	M		56		12	12	3	5	
	F	20,3							
3. Februar	e_E	06	27,6						Herdg. biet: Kuba.
	e		37,2		10	8/12	3	4	
	e_L		46						
	M_1		51		16	16	3	8	
	M_2		58		16	16	9	8	
	M_3	07	04		16	16	11	8	
	F	08,2							Durch Streifenwechsel gestört.
16. Februar	e	15,0							Spuren eines Fernbebens.
	F	15,5							
23. Februar	e	00	48						In EW Spuren eines Fernbebens.
	F	01,0							
4. März	e_L	23	50						Spurer langer Wellen.
	F	00,0							
5. März	e	02	23						Spuren von Bebenwellen.
	F		30						Starke mikroseismische Bewegung.
8. März	e	05,0							Beben Spuren.
	F	05,5							

14. März	e	22	55	04					Sehr sel. wach.
	e	23	05,2						
	e_L		18						
	M		30		20	20	7		
15. März	F	00,1							
19. März	e	11	55						
	M	12	04		20	20	12	9	
	F	12,5							
26. März	e	00	09	23		4		2	
	e_L		25						
	M_N		43		20				
	M_E		46,5		18		11	12	
	F	01,6							
26. März	e_L	10	54						
	M		58		16	16	12	12	Starke mikroseismische Bewegung.
	F	11,5							
4. April	e_N	19	20,6						
	e		38	20					
	e		41	15					
	e_L	20	06						
	M_E		12,0		14		2		
	F	20,3							
14. April	e	01	49,0						
	e_L		50,5						
	M_1		53		16	16	2	2	
	M_2		55		12	12	4	4	
	F	02,2							

Datum 1932	Phase	M. Gr. Z.		T_E	T_N	A_E	A_N	Bemerkungen
		h	m	s	s	μ	μ	
18. April	e	11	53					
	M	12	01		10—12	10—12	1	1
	F	12,2						
14. Mai	eP	13	25	07				
	iP			14	12	16	8	Δ ca. 11800 km. Herdgebiet: Celebes.
	i		29	07				
	{ iPR ₁		29	28				
	{ m		29,8		16	16	55	25
	i		30	05				
	i		35	40				
	{ iS _c P _c S		35	47	12	12	75	16
	{ i		36	50	10	10	27	32
	i _N		37	45		10		25
	iPS		38	29	16	17	200	95
	i		39	03				
	{ ePPS		39,6					
	{ m		40,0		20	20	360	165
	e		41	43	8	8	17	20
	e		42	11	10		38	
	{ eSR ₁		44,0					
	{ m		45,0		20	20	360	170
	{ iSR ₂		49	11				
	{ m		50,0		24	16	290	90
	e		52,3					
	{ m		53,0		24	24	460	220
	eL		57					

	M_1	14	07,1		20	28	200	700	
	M_{2N}		09,0			24		410	
	M_{2E}		10,2		28		630		
	M_{3N}		11,0			20		220	
	F	17,3							
21. Mai	eP	10	22	44	8—10	8—10	1	1	$\Delta = 920$ km.
	e _E		29	40	8		3		Herdgebiet: Westliches Mittelamerika.
	e(S)		33	04	16		16		
	{ e			52	8		9		
	{ m _N		34,7			8		5	
	e		39	12		12		6	
	eL		40						
	M_1		52		28	28	85	70	
	M_2		58		20	24	35	28	
	M_3	11	02		20	20	30	35	
	F	12,0							
21. Mai	e	16	18						Spuren eines Fernbebens. Nur in EW deutlich.
	M		23		12		1		
	F		30						
22. Mai	eL	12	59						Nur in EW deutlich.
	M_1	13	03		16		4		
	M_2		10		16		6		
	F	13,5							
22. Mai	e	17	08						
	M		11—13		10	10	3	3	
	F	17,5							

L. Weickmann und P. Mildner:

Die 1931—35 in Leipzig u. im Obs. am Collmberg aufgez. Erdbeben

245

Datum 1932	Phase	M. Gr. Z.		T_E	T_N	A_E	A_N	Bemerkungen
		h	m	s	s	μ	μ	
28. Mai	e	02	44	14				
	eL	03	03					
	M_1		11		16	15	11	10
	M_2		16		16	16	12	17
	F	03,6						
3. Juni	iP	10	50	14	12	12	11	
	i		51,0		8	10	7	7
	e		51	36	12	12	7	6
	{ e		52	43				
	{ m		53,2			10		5
	{ e		53	42				
	{ m		54,0		14	12	22	12
	i		54	28	12	12	25	19
	e		55	08	12	14	20	22
	{ e		56	05				
	{ m		56,5		12	12	10	11
	eN		58,4			16		8
	eN		59,0			12		9
	e	11	00	40	20	20	75	50
	e		01	32	10	10	25	13
	e		02	14	14	14	75	45
	e		02	54	12	12	45	35
	e		03	36	12	10	70	35
	eSR ₁		07,2		ca. 32	ca. 28		
	e		08,4		32		380	
	eSR ₂		12,2		20	20	90	

	eL		18					
	M_1		22,5		24	30	280	580
	M_2		25		22	24	420	580
	M_3		31		24	22	720	470
	M_4		33,5		20	22	1200	900
	M_5		38		16	14	350	330
	M_6		41		14	14	310	190
	M_7		43,5		16	18	190	360
	F	15,0						
6. Juni	e	09	06,0					
	eL		24					
	M_E		34,0		18		7	
	M_N		35,5			17		10
	F	10,1						
13. Juni	e	21	20,8					
	eL		43					
	M_1		53		15	14	4	2
	M_2		55		14	12	4	2
	F	22,2						
14. Juni	e	06	20					
	F	07,1						
14. Juni	e	12,0						
	F	12,7						
18. Juni	eP	10	25	38	10—12	10—12		
	e		29	22	12	12	14	7
	e		32	14	9	10	3	3

Spuren von Bebenwellen.

Desgl.

Herdgebiet: Mexiko.



L. Weickmann und P. Mildner:

Datum 1932	Phase	M. Gr. Z.		T_E	T_N	A_E	A_N	Bemerkungen
		h	m	s	s	μ	μ	
18. Juni (Forts.)	e_E	10	34	14	12	7		
	e		35,1					
	m_E		35,7		12	11		
	e_S		36	24	12	22	9	
	e		37,5		14	25		
	e		38,3		14	30	22	
	e		39,7					
	i		43	42	32	36		
	e		46,8		26			
	eL		52			ca. 40		
	M_1	11	08,0		16	18	400	250
	M_{2N}		09,0			16		320
	M_{2E}		10,7		16		500	
	M_3		12		16	16	270	250
	M_4		14,5		16	15	270	110
	M_5		15,5		16	16	140	110
	F	14,2						
26. Juni	eL	19	58					
	M_E		05—07		18		4	
	M_N		09,5			18		6
	F	20,5						
29. Juni	e	18	44,6		12	12	4	3
	e		47,5					
	eL	19	00		21		5	
	M_{1E}		01					

	M_3		06		14	12	2	2
	F	19,4						
7. Juli	e	16	41,0					
	eL		51					
	M_1	17	01		28	28	45	28
	M_2		04		22	20	24	37
	M_3		06		18	19	32	36
	M_{4N}		08,0			16		32
	M_{4E}		12,5		14		22	
	F	18,0						
8. Juli	eL	11	25					
	M		28		10	10—12	1	1
	F		36					
9. Juli	e	01	20					
	F	01	40					
10. Juli	eL	08	24					
	M_E		30		24			
	F	09,0					8	
14. Juli	e	13	52					
	F	14,5						
25. Juli	e	09	29,4					
	e		36		22			
	e		37		40			
	e_E		47,0			28		
	e		53				14	



Datum 1932	Phase	M. Gr. Z.		T_E	T_N	A_E	A_N	Bemerkungen
		h	m	s	s	μ	μ	
25. Juli (Forts.)	eL	09	57					
	M_1	10	04	24	24	16	12	
	M_2		08	16	20	15	19	
	M_3		10	16	16	15	12	
	F	11,0						
12. August	eN	03	35	48				
	e		45	36				Herdgebiet: Aleuten.
	e		55,5					
	eL	04	01					
	M_1		12	19	19	8	4	
	M_{2E}		15	17		10		
	M_{2N}		17		19		11	
	F	05,1						
14. August	eP	04	50	11				
	iP_cP		39	3	4			$\Delta_{S-P} = 7100 \text{ km.}$
	e	52	50	8		5		Herdgebiet: Ost-Bengalen.
	e_E	53	14	8		3		Von sechs kurzen Perioden überlagert.
	iS	58	49	6				
	e_E	59	21	10				
	e_E		36	8		7		
	i	05	00	12		6		
	e		21	10		6		
	e_E	04	19					
	e	06	58	13	12	12	4	
	eL		12					

	M_1	18		16	16	21	16	
	M_2	22,5		20	16	38	8	
	F	06,2						
21. August	e	05	59,0					
	eL	06	01					
	M	09		16	16	13	10	
	F	06,8						
22. August	eL	11	52					
	M_1	54		20	17	22	23	
	M_2	59		15	16	7	11	
	F	12,5						
24. August	e	13	00					
	F	13,5						Spuren von Bebenwellen.
3. September	e	12	20,7					
	eL		40					
	M_E		45,5	16		8		
	M_N		48,5		18		14	
	F	13,2						
11. September	e	14	31,2					
	eL		40,8					Gestört durch Bodenunruhe, besonders in NS.
	M		41,5	11	11	3	3	
	F	15,0						
15. September	e	12	09					
	F	12	25					Spuren eines Bebens.

Datum 1932	Phase		M. Gr. Z.		T_E	T_N	A_E	A_N	Bemerkungen
		h	m	s	s	s	μ	μ	
15. September	e_E	14	45						
	e_L	15	05						
	M_{1N}		15			28		25	
	M_{1E}		18		28		20		
	M_{2N}		27			22		10	
	M_{2E}		30		22		10		
	F	16,4							
23. September	iP	14	33	19					Tiefhe Beben östlich von Jeso (Japan).
	m		33,6		1	1	4	4	
	i		42	18	8	7	23	12	
	i			44					
	i_N			52		12		11	
	i_E		43	00	8		6		
	e		52,3		11	11	2	2	Weiterhin unregelmäßige Bewegung ohne deutliche Einsätze.
	F	16,6							
26. September	eP	19	23	55					$\Delta_{S-P} = 1700 \text{ km. Herdgebiet: Chalkidike.}$
	iP			50	12u.ca.1	12u.ca.1			
	iS		26	48					
	eL		27,6						
	M_1		29		16	14	720	>700	
	M_{2E}		30,2		12		ca. 400		
	M_3		32,5		10	12	150	220	
	M_{4N}		33,8			10		145	
	F	?							Geht in das folgende Beben über.

26. September	eP	21	30	10					Nachstoß.
	e		33,0						
	M		35		10	12	13	13	
	F	22,4							
28. September	e	16	57,9						Herdgebiet: Chalkidike.
	eL		50,2						Nachstoß zum Beben vom 26. 9.
	M_1		59,8		12	12	13	7	
	M_2	17	00,5		8	10	7	10	
	F	17,2							
29. September	e	04	00	32					
	e		03,0						
	M_1		05,5		8	10	60	60	
	M_2		06		8	8	45	28	
	M_3		09,3		10	10	23	28	
	F	04,8							
29. September	e	17	58,4						
	e	18	08,0						
	eL		25						
	M_1		33		16	16	7	4	
	M_{2E}				14		3		
	F	19,1							
30. September	e	06	16,2						Beginn undeutlich.
	e		19,5						
	eL		22						
	M		23,0		8	8	2	2	
	F	06,6							

Datum 1932	Phase	M. Gr. Z.			T_E	T_N	A_E	A_N	Bemerkungen
		h	m	s	s	s	μ	μ	
1. Oktober	e	13	43						
	M		44		10	11	2	2	
	F	14,0							
2. Oktober	e_E	03	22,2						NS an diesen Stellen unleserlich. Herdgebiet: Halbinsel Yucatan.
	e_E		29,5		28				
	e_L		38						
	M_{1N}		42			20		13	
	M_{1E}		44		20		10		
	M_2		48		18	20	32	22	
	M_{3E}		49,5		12		22		Diagramm-Maximum in EW.
	F	05,0							
9. Oktober	e	13	38						
	M		43		15	15	4	3	
	F	14,0							
16. Oktober	iP	12	19	41		4		2	$\Delta_{S-P} = 3200$ km. Herd südlich der Halbinsel Alaska.
	e		23,0						
	iS		29	10	8	8	3	2	
	e		30,0						
	eL		42						
	M_1		51		20	20	12	8	
	M_2		55		24	20	20	19	
	F	13,6							
23. Oktober	iP	13	51	10	Sehr kurz.				Sehr schwach.
	e_E		44,9						
	e_L		47,0						
	M_1		48,5		14	12	3	4	
	M_2		49		10	10	2	3	
	F	15,0							
23. Oktober	e	22	18						
	M		21,2		14	14	5	3	
	F	22,5							
29. Oktober	e	11	18	42					
	eL		32						
	M_{1N}		34,3			20		15	
	M_2		36,5		12	12	8	9	
	F	12,0							
30. Oktober	e_N	20	58	34					
	e_N	21	07	44					
	eL		28						
	M_1		34		20	20	4	7	
	M_2		38		20	20	7	6	
	F	22,0							
1. November	e	16	25,4						Herdgebiet: Chalkidike.
	eL		26,0						
	M_1		27,3		12	10	13	5	
	M_2		28,6		10	12	4	7	
	F	16,8							
2. November	e	11,5							Spuren von Bebenwellen in starker mikroseismischer (Stadt-)Unruhe.
	F	12,5							

Datum 1932	Phase	M. Gr. Z.		T_E	T_N	A_E	A_N	Bemerkungen
		h	m	s	s	μ	μ	
13. November	iP	04	58,0					In Minutenlücke.
	i		59	12				Tiefherdbeben südöstl. von Yesso (Japan).
	e	05	02	31				
	i		07,0		8	8	25	In Minutenlücke.
	i		07	23				
	e_N		17	28				
	F	06,3						
29. November	e	11	38,6					
	eL	12	04					NS durch mikroseismische Bewegung stark gestört.
	M_1		11		24		22	
	M_2		14—18		20		22	
	F	12,6						In starker mikroseismischer Bewegung.
4. Dezember	e	04	17,0					
	eL		20					
	M_N		22		20			
	M_E		25		16	8	15	
	F	04,7						
4. Dezember	e	08	29,0					
	e		37,8					
	e		47					
	eL	09	00					
	M_1		08		24		28	
	M_2		15,5		22		48	
	M_3		17,5		20		35	

	M_4	21		20		31		
	F	10,0						
7. Dezember	eL	17	09					Starke mikroseismische Unruhe.
	M_1		15	22	22	16	16	
	M_2		17,5	16	20	16	18	
	M_3		20	16	16	20	10	
	F	17,9						
21. Dezember	e_N	06	32	31				
	e_E			43				
	e_N		37,5					
	e_E		38					
	m_N		30		30		50	
	m_E		39,5	28		45		
	e		41,6	21	20	15	15	
	eL		47					
	M_{1N}		51		36		145	
	M_2		53	26	28	110	200	
	M_3		55	20	22	90	170	Diagramm-Maximum in NS.
	M_{4N}		59		18		65	
25. Dezember	M_{4E}	07	03	17		55		
	F	08,2						
	ePE	02	14	11				
	iP			15	10	15	7	$\Delta_{S-P} = 6500 \text{ km.}$
	ePR_1		16	43				Herdgebiet: Kwen-Lun-Gebirge.
	iPR_2		17	41	10	10	12	
	iS		22	17	10	8	22	
	e		22,6		12	10	13	
	i		24	16	8		11	

Datum 1932	Phase	M. Gr. Z.		T_E	T_N	A_E	A_N	Bemerkungen
		h	m	s	s	μ	μ	
25. Dezember (Forts.)	iSR_{LN}	02	26	25	20		45	
	eSR_{1E}			33	22	160		
	eL		30,5					
	M_1		35,5		10	8	135	140
	M_2		36		10	10	100	165
	M_3		38		12	12	250	280
	M_4		41		12	12	240	230
	M_5		43		12	12	250	230
	F	05,0						In stark mikroseismischer Unruhe.
31. Dezember	eL	07	16					
	M_{1E}		17		24		18	
	M_2		19		18	20	26	15
	M_{3N}		21			16		16
	F	07,7						
1933								
3. Januar	eL	16	10					
	M		12,5					
	F	16,5						Lange Wellen eines Fernbebens, Starke mikroseismische Bewegung.
7. Januar	eL	04	45					
	M_1		52,2		20	20	24	40
	M_2		56		16	16	13	12
	M_3		59,2		16	20	14	12
	F	05,5						
9. Januar	iP	02	09	28				
	eE		11	14				
	e		11	32	8		2	
	iS		15	40	4	9	7	8
	eE		17,0					
	iN		19,0					
	m		19	12	7	8	7	6
	F	02,8						Unregelmäßige Bewegung ohne deutliche Maxima.
21. Januar	e	16	49,5					
	M_E		53,5		10		2	
	F	17,1						
21. Januar	eP	19	34	33				
	e		37	32				
	e_N		39	40				
	e		40	28				
	e		45	09	16	16	10	15
	eE		46,0		8		8	
	eE		47,0					
	e_N		52,3					
	eE		52	37				
	eL		58					
	M_{1E}	20	02,0		50		135	
	M_2		10		22	28	17	70
	M_{3E}		15,5		20		36	
	M_4		21		18	19	40	45
	M_5		27		16	17	30	30
	M_6		35		16	16	17	16
	eL	21	30					Wahrscheinlich neues Beben.
	M_{1E}		39					8

Datum 1933	Phase	M. Gr. Z.			T_E	T_N	A_E	A_N	Bemerkungen
		h	m	s	s	s	μ	μ	
21. Januar (Forts.)	M_{2E}	21	50		18		4		
	M_{2N}		53			16		6	
	F	22,1							
13. Februar	e	03	11,6						
	e_N		13,5						
	e_N		14	44					
	e_E		15	29					
	M_{1N}		15,9			16		35	
	M_2		19		8	8	14	11	
	F	04,0							
21. Februar	e	15	37	30					Herd: Schwäbische Alb.
	M_E		47	35	<1		3		Hebt sich nur durch größere Amplituden aus der an diesem Tage sehr starken kurzperiodischen mikroseismischen Unruhe (adteinfuß!) heraus.
	F		48,6						
21. Februar	e	15	50	50					Nachstoß zum vorigen Boben.
	M_E		51	03	<1		4		
	F		52						
23. Februar	e	08	23	08					Herdgebiet: Nord-Chile.
	e		27	13	4/8				
	e		28	06					
	e		33	41					
	e		36,4						

1. März	e		41,2						
	eL		48						
	M_1	09	01		34	30	65	50	
	M_2		03		24	20	130	30	
	M_{3N}		08,5			18		27	
	M_4		12		20	18	35	25	
	F	10,8							
2. März	e	02	15	42					Maximalp. Welle eines Nahbebens: Herd: Schwäbische Alb. EW undeutlich.
	F		17						
2. März	iP	17	43	11					$\Delta_{S-P} = 1100 \text{ km.}$
	i			21	10	10	37	65	Herdgebiet: Nord-Japan.
	i		44	03	10	10		25	Epizentrum: $\varphi = 39^\circ 15' N$
	iPR_1		46	19	12	11	53	70	$\lambda = 144^\circ 40' E.$
	iPR_2		48	07	10	12	45	95	
	ePR_3		49,2			10		38	Vgl. Fig. 9 auf Tafel I.
	iS		53	21	10				
	m_N		53,7			12		100	
	eSR_1		58,3						
	m_N		59,8			40		1500	
	eL	18	03						
	M_{1E}		09,0		50		2200		
	M_{1N}		10,0			40		2800	
	M_{2E}		11		40		3100		
	M_3		14		32	30	> 4800	1950	Masse schlägt an Hemmungsschrauben.
	M_4		15,5		24	26	> 2400	2500	
	M_{5N}		18			22		1650	
	M_{6N}		23			20		1650	
	W_2	20	22						
	W_3	21	29						
	F	22,5							Sehr deutlich.

Datum 1933	Phase	M. Gr. Z.		T_E	T_N	A_E	A_N	Bemerkungen
		h	m	s	s	μ	μ	
3. März	eL	09	55					
	M_{1N}	10	05,0		14		6	
	M_{1E}		06,5	14		6		
	M_2		09,5	12	12	3	3	
	F		10,8					
7. März	e	14	46,0					
	M		47,5	8	8	2	2	Kurzperiodisch überlagerte, unregelmäßige Wellen.
	F		52					
11. März	e	02	17					
	eL		34					
	M_1		44	20	18	3	5	
	M_2		50	13	14	3	3	
	F	03,2						
11. März	eL	15	03					
	M_{1E}		09,0	14		5		
	M_{2E}		11,5	16		8		
	M_{1N}		13,0		12		7	
	M_{2N}		18,0		12		5	
	M_{3E}		21,5	14		5		
	F	15,8						
11. März	e	19	54,4					
	e		58,0					
	e	20	01,0					

14. März	eL		13					
	M_1		25,5					
	M_{1N}		29,3					
	F	20,9			16	14	6	
						14	4	
17. März	e	01	23	22				
	eL		28					
	M_1		29,0		10	10	7	
	M_{2E}		30,2		10		5	
	F	01,7						
17. März	iP	16	06	45				
	eN		11,2					
	e		16,0					
	eN		21,0					
	eE		24,9					
	eL		29					
	M_{1N}		35,5		28		48	
17. März	M_{1E}		37,0	22		27		
	M_2		38	18	20	23	22	
	F	17,5						
22. März	eL	20	20,0					
	M_{1N}		27,0		24		16	
	M_2		30,0	22	22	18	19	
	M_3		35	20	16	22	9	
	M_4		42	18	18	13	17	
	F	22,2						
22. März	e	18	22					
	M		25,7	10		2		
	F	20,6						

Datum 1933	Phase	M. Gr.Z.			T_E	T_N	A_E	A_N	Bemerkungen
		h	m.	s	s	s	μ	μ	
23. März	eL	18	06						
	M_1		13,0		12	12	4	6	
	M_{2N}		15,5			12		3	
	F	18,7							
1. April	eL	16	43						Spuren langer Wellen in EW.
	M		51,8		13			2	
	F	17,0							
1. April	eL	23	12						Spuren langer Wellen, nur in NS deutlich.
	F	23,4							
9. April	eL	03	28						
	M_{1E}		33		18		22		
	M_{2E}		34,5		16		12		
	M_{1N}		37,5			14		6	
	M_{3E}		39,8		14		13		
	M_{2N}		40,5			14		6	
	M_{3N}		43,7			14		6	
	F	04,2							
	eL	04	44						
	M		51		16	16	2	2	
19. April	F	05,2							
	e	07	27,5						Durch Streifenwechsel gestört.
	M		38,2		16	16	25	35	
	F	08,1							

23. April	iP	06	01	46					$\Delta_{S-P} = 2100 \text{ km. Herdgebiet: Insel Kos.}$
	i		50						
	i	02	18						
	iS	05	13	9	9	23	35		
	iN		31		12		22		
	i	06	18	8	8	12	9		
	eL	07,5							
	M_1	09		12	12	55	86		
	M_2	10,2		9	10	52	60		
	M_{3E}	11,2		9		50			
	M_{4E}	12,2		10		38			
	F	07,0							
	eL	08	55						
	M_1	09	02		16	16	8	3	
	M_{2N}		08,5			16		4	
	F	09,5							
27. April	eN	02	47	01					$\Delta_{S-P} = 7400 \text{ km. Herdgebiet: Kamtschatka.}$
	iP		06			4			
	i		19						
	i		30						
	eN	49	33						
	iS_E	55	55						
	eN	56	07						
	m	56,4		7	7	6	6		
	i_E	57	00	8		6			
	iN		23			8		6	
	eN	03	00						
	eL	04							
	M_1	14							

Datum 1933	Phase	M. Gr. Z.		T_E	T_N	A_E	A_N	Bemerkungen
		h	m	s	s	μ	μ	
27. April (Forts.)	M_{2E}	03	18,8		20		15	
	M_{2N}		21,0		14		12	
	M_3		24		14	12	13	16
	M_4		27		13	12	11	13
	F	04,6						
28. April	e	23	39					
	F		50					Lange Wellen eines Fernbebens.
8. Mai	e	10	57,9					
	eL	11	10					
	M_{1E}		20,5		28		17	
	M_{1N}		23,0		28		6	
	M_2		27		20	24	15	11
	M_3		30,5		20	18	11	19
	F	12,2						
11. Mai	eP	19	12	55				
	eS		15	51				
	iL	17	00					Herdgebiet: Chalkidike.
	M_1		17,6		8	8	33	25
	M_{2N}		18	00	8	8	44	37
	M_{2E}			11	8		53	
	M_{3E}			33	10			
	M_{3N}			47		8		
	M_{4E}		19	46	8		29	
	F	20,2				34		
19. Mai	eP	18	07,9					
	e		11,2					
	eS	15	52		14	14	6	9
	eL	28						
	M_1		31,0		16	16	24	24
	M_{2E}		32,5		13			
	M_3		34,0		16	16	24	32
	F	19,2						
2. Juni	eL	08	24,5					
	M		31,5					
	F	08,9			16	16	12	18
3. Juni	eL	17	54					
	M	18	02,0					
	F	18,3			16	16	9	8
10. Juni	eP	12	11,9					
	eS		16	02	8		3	
	eL		18,5					
	M_1		23		12	12	2	2
	M_2		25		10	10	5	2
	F	12,8						
13. Juni	eL	21	17					
	M_E		19,5					
	F	21,6			18		10	
18. Juni	eP	21	49	45				
	ePR_1		52	45				
	eS		59,8					Δ_{S-P} ca. 9000 km. Herdgebiet: Nord-japan. Fällt in die Stundenlücke

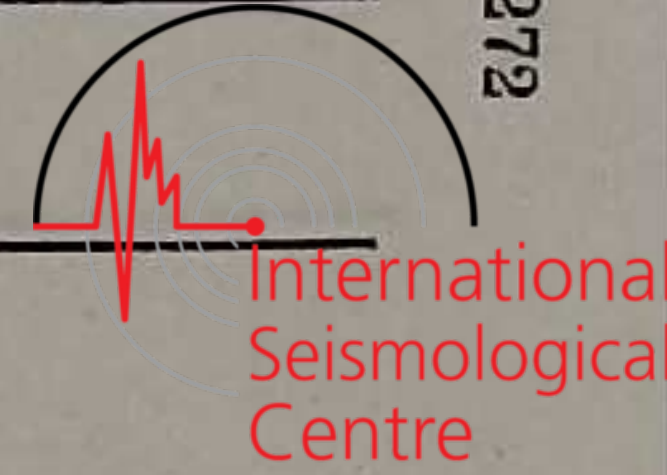
Datum 1933	Phase	M. Gr. Z.		T_E	T_N	A_E	A_N	Bemerkungen
		h	m	s	s	μ	μ	
18. Juni (Forts.)	eSR_{1N}	22	04,5					EW ges. 3rt.
	eSR_{2N}		08,7		28		14	
	eL		14					
	M_{1E}		21,5		20	75		
	M_2		23,5		20	135	125	
	M_3		25,6		16	85	120	
	M_{4E}		26,7		18	145		
	M_5		28,6		16	65	140	
	F	23,3						
24. Juni	e_E	22	12,2					Herdgebiet: Sumatra.
	e_E		13,1					
	e_E		14,2	11		2		
	e_E		18	57				
	e_E		19	15				
	m		19,7		12	11		
	eL		35,2					
	M_{1N}		39		52	315		
	M_2		47		32	135	210	
	M_3		51		24	100	120	
	M_4		52—54		20	80	175	
	M_{5N}		56		16		50	
	M_{5E}		59		16	40		
25. Juni	F	00,6						
9. Juli	e	01	41,9					
	e		52					

	e	02	00					
	eL		12					
	M_1		15	20	20	8	3	
	M_2		20	16	16	7	5	
	M_3		23	16	16	6	4	
	F	02,8						
9. Juli	eL	10	10,0					
	M_1		13,0	20	20	10	3	
	M_{2E}		14,5	18		9		
	M_{3E}		16,0	16		6		
	M_{2N}		18,5		16		6	
	M_{3N}		21,0		16		4	
	F	11,0						
9. Juli	e	12	42	35				
	e		52	25	12			
	e	13	01,5			2		
	eL		07,5					
	M_1		15,5	20	20	45	22	
	M_2		21	16	19	17	40	
	M_3		23,5	16	20	16	34	
	F	14,5						
9. Juli	e	21	49					Spuren langer Wellen.
	F	22	01					
10. Juli	eL	04	13					In NS nur angedeutet.
	M_1		17,5	16		4		
	M_2		20,0	14		6		
	F	04,5						

Datum 1933	Phase	M. Gr. Z.			T_E	T_N	A_E	A_N	Bemerkungen
		h	m	s	s	s	μ	μ	
19. Juli	eP	20	11	17					EW an dieser Stelle unleserlich.
	eS		14	48		6		3	
	eL		16,5						
	M_{1N}		17,2			16		5	
	M_{2N}		19,8			10		7	
	F	20,5							
22. Juli	e	21	07,0				10		
	e		16,8						
	e		22,0						
	e		26,3						
	eL		30						
	M_{1E}		33,5		20		7		
	M_{2E}		39,5		24		20		
	M_{1N}		42			20		28	
	M_3		45		20	18	24	27	
	W_2	23,6							
31. Juli	F	00,0							
	e	11	51						Lange Wellen. In NS nur angedeutet.
	M		53		16		4		
11. August	F	12,1							
	e	09	14,0						
	eL		30						
	M_{1N}		32						
M_2			33		12	12	2	4	

25. August	M_3	10,0	35,0		10	10	2	3	
	F								
	iP	08	01	20					$\Delta_{S-P} = 7500 \text{ km. Herdgebiet: China, Provinz Üetschwan.}$
	i			43					
	eN		04	35		8		2	
	eN		05	44					
	eS		10	15					
	m		10,5		8	7	6	5	
	e		14,8						
	m_E		15,5		30		85		
	eL		20						
	M_{1E}		26,9		24		240		In der Hauptphase Wellen mit rasch wechselnder Periode.
	M_{1N}		28,7			14		85	
	M_{2E}		31,5		12		70		
	M_3		35,5		16	12	135	70	
	F	10,0							
28. August	e	22	39	14					Herdgebiet: Hinterindien.
	i			39					
	i		49	11					
	i		55	36		36		170	
	e	23	06,5						
	M_{1E}		12,5		32		70		
	M_{1N}		15			44		105	
	M_2		18		28	28	35	37	
	M_3		22		21	19	42	40	
	M_4		25		19	18	40	27	
29. August	F	01,2							

Datum 1933	Phase	M. Gr. Z.			T_E	T_N	A_E	A_N	Bemerkungen
		h	m	s	s	s	μ	μ	
6. September	e	22	27	16		6			Herdgebiet: Tonga-Inseln. Hauptphase sehr schwach, keine deutliche Maxima. Spuren eines Bebens. In NS nur angedeutet.
	i		24			kurz		4	
	i	29	36			4		4	
	eN	30	32						
	e	41	08						
	eE	49,2			13		5		
	eL	23	00						
21. September	F	00,0							
	eL	03	57						
	M	04	08,5		11		0,5		
21. September	F	04,3							
	eL	10	32						
	M _{1E}		35,5		16				
	M _{1N}		39,5			14	14	2	
	M ₂		42		13	13	4	3	
25. September	F	11,0							
	e	19	00						Beginn fällt in die Stundenlücke.
	eE		02	44					
	eE		08,4						
	eE		12,6						
	eL		17						
	M ₁		23,0		12	12	20	35	
	M ₂		25		14	12	55	20	
	M ₃		28		12	12	27	20	
	F	20,2							
26. September	eN	03	35	43					
	e		37	34					
	i		38	14					
	M _E		39,2		8		15		
	M _N		40,0			10		7	
	F	03,9							
2. Oktober	eE	15	42	44					
	e		53	18					
	eE			28					
	i			52		12		20	
	eN		55	20					
	eE	16	02,7						
	eL		10						
	M ₁		23		20	20	30	19	
	M _{2E}		26		18		25		
	M ₃		29		16	16	15	8	
	M _{4N}		36			20		21	
	F	17,9							
5. Oktober	eE	13	36,9						
	e		42,6						
	eL		51						
	M ₁		52,3		17	17	10	10	
	M ₂		58,5		16	16	6	5	
	M ₃		59,5		12	12	7	5	
	F	14,7							
2. November	eL	13	06						In NS sehr schwach.
	M		17		20	20	7		
	F	13,7							



Datum 1933	Phase	M. Gr. Z.			T_E	T_N	A_E	A_N	Bemerkungen
		h	m	s	s	s	μ	μ	
20. November	iP	23	29	10	12	12	9	21	Herdgebiet: Baffin Bay.
	e		30	37					
	m		31,0		8	8	10	18	
	e_E		34	45					
	i		35	11	11	11	32	120	
	eL		40						
	M_{1E}		42,5		30		290		
	M_2		49		15	15	200	160	
	F	01,5							
21. November									
22. November	eL	13	42,5						
	M_{1E}		49,5		22				
	M_2		58,5		20	20			
	F	14,7							
28. November	eP	11	16	35					
	e_E		17	35					
	eS		22	29					
	m_N			33		7		7	
	e_N		24	53					
	eL		30						
	M		33,5		16	16	12	22	
	F	12,2							
15. Dezember	e_E	07	48,1						
	eL		55						
	M		59						
	F	08,5							

Im Streifenwechsel.

1934

15. Januar	eP_E	08	53	29					$\Delta_{S-P} = 6600 \text{ km. Herdgebiet: Nord-Indien.}$
	iP			34					Ganges Gebiet.
	iPR_1		56	08					
	ePR_2		57	30	16		85		
	iS	09	01	38					Vgl. Fig. 10 auf Tafel II.
	i		02,1		16	14	195	270	
	eSR_1		06,0		16	12	170		
	eSR_2		07,3		20	16	200		
	eL		11,0						
	M_1		17		32	30	1300	2200	Masse schlägt gegen die Hemmungsschrauben.
	M_2		19		24	22	970	950	
	M_3		21		18	20	550	500	
	M_4		23		18	20	550	700	
	M_5		26,5		20	18	360	600	
	F	12,5							
28. Januar	e_E	19	26	30					Herdgebiet: Westliches Mittelamerika.
	e		34,2						
	e_E		40						
	e		44						
	eL		49						
	M_1	20	04		20	20	25	25	
	M_2		06		18	18	20	15	
	F	21,0							
30. Januar	eL	20	57,5						
	M	21	01		20	20	7	8	
	F	21,5							

Datum 1934	Phase	M. Gr. Z.			T_E	T_N	A_E	A_N	Bemerkungen
		h	m	s	s	s	μ	μ	
3. Februar	e_N	15	32,7						
	e_N		34,3						
	e		37						
	e		40		24	22			
	M_{1N}		43,5			24		13	
	M_2		47		20	20	8	13	
	M_3		50		19	18	6	5	
4. Februar	F	16,5							
	e		40,5						Herdgebiet: Albanien.
	i_E		41	16	6—8		6		
	M_1		41,8		5	8	16	6	
	M_2		42,6		8	12	6	6	
	M_3		43,5		8	8	6	6	
4. Februar	F	10,0							
	e_E		34,6						
	e		40,7						
	e		42,5						
	e_L		45						
	M_{1N}		47			24		21	
	M_2		48,5		20	20	20	19	
	M_3		51		14	20	9	20	
	M_4		53		14	14	12	12	
	F		14,5						
14. Februar	iP	04	12	22					$\Delta = 950$ km. Herdgebiet: Formosa. Vgl. Fig. 11 auf Tafel II.
	i_E		15	45					
	e_E		17	50					
	e_S		22	52					
	iS		23	00					
	iPS		24	02					
	eSR_1		28,3						
	e_E		32,8						
	e		35,7						
	eL_1		40,0						
	eL_2		45,8						
	M_1		47		20	20	50	110	
	M_2		48,5		16	15	75	55	
	M_3		51		16	16	85	180	
	M_4		54,5		16	16	85	150	
	M_5		56		15	15	90	160	
	F		06,5						
21. Februar	e	08	15	14		8			Sehr schwach.
	F		08,5						
21. Februar	e	11	41	35					
	e		47,8						
	M		49,6		10	11	3	4	
	F		12,2						
22. Februar	e	08	17,5						
	e_N		19,2						
	e		23,5		16	16			
	M		24—26		16	18	8	16	
	F		08,8						

Datum 1934	Phase		M. Gr. Z.		T_E	T_N	A_E	A_N	Bemerkungen
		h	m	s	s	s	μ	μ	
24. Februar	e_N	06	37,0			12			Herdgebiet: Mariannen-Inseln.
	e		40	50					
	e		47	36					
	e		49,6						
	e_E		50,3						
	e_E		54	32	16		24		
	e_N			39		16			
	e	07	01,5						
	e		08,5						
	eL		07,5		48	40—50			
	M_1		16,5		20	20	80	60	
	M_2		20		16	16	40	55	
	M_3		23		20	20	90	80	
	F	09,2							
28. Februar	e	14	52,8						
	e	15	00		40	40	35	30	
	eL		13						
	M_1		24		30	30	30	80	
	M_2		34,5		22	22	50	100	
	F	17,0							
1. März	e	20	43,0						
	M		54,5		20	20	6	8	
	F	21,1							
1. März	e	22	12,8						
	F	23,0							
									Beginn langer Wellen wechselnder Periode ohne leutliche Maxima.
4. März	eL	11	51						
	M_1	12	02,5		16	16	4	4	
	M_3		06,5		13	13	3	3	
	F	12,5							
5. März	e_N	12	11,0						Herdgebiet: Neuseeland.
	e		21,3						
	e		31,7						
	e_E		37,5						
	e_N		38,1						
	e_E		44,5						
	eL		56						
	M_{1N}	13	11,8			26		45	
	M_{1E}		14,5		24		30		
	M_{2N}		17			22		35	
	M_{2E}		19		22		60		
	M_{3E}		22,5		20		45		
	M_{3N}		24,8			20		90	
	M_{4E}		27,5		20		105		
	M_{4N}		29,0			20		80	
	F	14,5							
24. März	e	12	25,9						
	e_N		27	08		8		2	
	e		43,2						
	eL	13	02						
	M_{1N}		16,0			28		65	
	M_{1E}		17,5		26		45		
	M_{2N}		23,5			22		55	
	F	14,8							

Datum 1934	Phase		M. Gr. Z.		T_E	T_N	A_E	A_N	Bemerkungen
		h	m	s	s	s	μ	μ	
29. März	iP	20	09	21					Herdgebiet: Rumänien.
	i_E			42					
	i_E			51					
	e		11,0						
	e		11	53					
	eL		12,0		8	11			
	M_1		13,5		8	12	9	9	
	M_2		14,2		6	6	10	8	
	F	20,5							
15. April	e	22	39,9						
	e_E		42,1						
	e_E		47,2						
	e		51,0						
	eL		56						
	M_1	23	09,5		28	26	70	85	
	M_2		17,0		18	18	45	45	
16. April	F	00,3							
2. Juni	i_N	13	47	20					$\Delta_{S-P} = 2500 \text{ km}$, Herdgebiet: Nord-Island.
	iP			23					
	m			28	4	4	2	8	
	e		51	23					
	iS			26	12	12	14		
	eL		52,6		24	24			
	M_1		56		20	21	30	50	
	M_2		57		18	18	35	35	

	M_3		59		18	16	55	40	
	F	14,5							
8. Juni	eL	03	19	25					Herdgebiet: Oberitalien, Belluno.
	M_E			32	2		8		
	M_N			42		2		8	
	F		25						
8. Juni	e_E	05	30,5						Nur wenige lange Wellen.
	M		34,5		20	20	8	8	
	F	05,7							
9. Juni	e_N	13	32						
	e_N		35,3						
	eL		55						
	M	14	01		24	24	10	15	
	F	14,2							
13. Juni	iP	02	02	43					In EW sehr undeutlich.
	iS		12	24					$\Delta_{S-P} = 8400 \text{ km}$, Ochotskisches Meer.
	eL		31,5						
	M		41,5		14	14	2	3	Hauptphase sehr schwach.
	F	03,0							
13. Juni	e_N	09	09,7						Herdgebiet: Oberitalien.
	e_E		10	04					
	i_N			20					
	i_E		24						
	eL		11	04					
	M_1		11,7		8	8	5	5	
	M_{2N}		12,0			7			
	M_{2E}		12,2						
	F	09	16						

Datum 1934	Phase		M. Gr. Z.		T_E	T_N	A_E	A_N	Bemerkungen
		h	m	s	s	s	μ	μ	
13. Juni	iP	22	18	32					
	iS		25	04		10		31	$\Delta_{S-P} = 4800 \text{ km. Herdgebiet: Afghanistan.}$
	e_N		28,3						
	e_E		28,7						
	m_N		29,5			10		20	
	e		34,2						
	eL		36						
	M_{1E}		39		20		20		
	M_{1N}		40,2			20		27	
	M_{2E}		42		16		28		
	F	23,5							
24. Juni	e_E	06	17,2						Beginn undeutlich. Herdgebiet: Chile.
	e_N		18,6						
	e		23	53	6	8	7	2	
	e_N		25	00					
	e_E		26	27					
	e_N		26	38					
	e_E		27	31					
	e_N		29	37					
	e_E		31	52	16		6		
	e_N		32	01		12			
	eL_1		40						Spuren langer flacher Wellen.
	eL_2		50						
	M_{1E}		54,5		22		17		
	M_{2E}		59,5		18		10		
	M_3	07	02		18	18	11	11	
29. Juni	M_{4N}		07						
	F	07,5							
	e	08	43						
	F	09,3							Spuren von Bebenwellen ohne deutliche Einsätze.
6. Juli	e	23	11	24					
	e		21,0			20		4	
	eL		26						
	M_1		31,5		24	22	12	17	
	M_3		33,5		20	21	15	16	
	M_3		35,0		18	18	22	24	
	M_{4E}		36,3		18		16		
	M_6		39,5		16	16	10	19	
7. Juli	F	00,5							
18. Juli	e_E	01	49	09					$\Delta = 9800 \text{ km. Herdgebiet: Panama.}$
	eP			16	10				
	e		52,5						
	e_E		58,8		ca. 14				
	iS		59	48					
	iPS	02	00	52	19		20		Das Maximum dieser Phase fällt in die Stunnenlücke.
	{ e_E		01,8						
	{ m		02,5		32		240		
	iSR_1		05	52	24	17	350	80	
	e_E		09,4		28		115		
	e_N		09,7			28		43	
	e		14,7		18	20	65	80	
	e		16,8		30	24		80	
	M_1		23,5		22	20	115	65	
	M_2		26		18	20	90	100	
	M_3		29		18	18	120	55	
	F		?						Geht in das nächste Beben über.

Datum 1934	Phase		M. Gr.Z.		T_E	T_N	A_E	A_N	Bemerkungen
		h	m	s	s	s	μ	μ	
18. Juli	e_E	04	13,5						
	e		24,0						
	M_1		47		18	18	6	4	
	M_2		51		17	18	6	6	
	F	05,5	.						
18. Juli	eP	17	12	27					Herdgebiet Panama.
	e_E		15,0						
	e_E		18	08	8				
	{ $e(S)$		22	55	8	8	2		
	m		23,5		8	8	11	3	
	e		24,2						
	e		29,4						
	eL		38						
	M_1		49		19	19	15	15	
	M_2		51		17	17	14	10	
	M_3		54		18	19	19	12	
	M_4		59		17	18	17	11	
	F	18,7							
18. Juli	e	20	00						Beginn fällt in Stundenlücke.
	e		02,3		16	16		10	Herdgebiet: Neue Hebriden.
	i_N		03	08		8			
	{ i_E		03	16					
	m		03,9		18		41		
	e_N		03	22		14		34	
	i		05	06					

19. Juli	i_E		40						
	i	06	06		14		20		
	e_E	12,0		16		29			
	e	13,7							
	e_N	15	32		16		20		
	e_E	23,1		20		30			
	e	25,5							
	eL	35							
	M_{1E}	44,0		36		170			
	M_2	48		32	25	350	190		
19. Juli	M_{3E}	51,5		24		310			
	M_4	53		22	26	260	500		
	M_5	56		22	24	320	420		
	M_{6E}	57,5		18		195			
	M_{6N}	00,5			21		560		
	M_7	03		19	18	230	430		
	F	00							Nach 0 ^h Andeutungen von W_s -Wellen.
		00,5							
	e_E	01	45,5						
	e	02	02,5						
19. Juli	eL	18							
	M	28		18	19	38	60		
	F	03,5							
	e	07	57,5						
	e_N	08	04,6						
19. Juli	e	11,1			12		2		
	e_N	14,0			12		2		
	e	19							

Datum 1934	Phase		M. Gr. Z.		T_E	T_N	A_E	A_N	Bemerkungen
		h	m	s	s	s	μ	μ	
19. Juli (Forts.)	e_N	08	32,5						
	e_L		44						
	M_{1N}		59,5			20		12	
	M_2	09	03		18	18	11	28	
	M_{3N}		05,5			16		22	
	M_{3E}		08				14		
20. Juli	F	10,0			16				
	e	19	57						Spuren langer Wellen eines Fernbebens.
21. Juli	F	21,0							
	e_N	08	40	37					Herdgebiet: Neukaledonien.
	e_N		41	13					
	e		41	41	8	8	4	6	
	e		42	47	12	10	8	8	
	e_N		46,5						
	e_N		50	38					
	e_N		52,0						
	e_N		57,3						
	e		58,5						
	e	07	03	21					
	e_L		10						
	M_{1N}		19			44		(300)	Noch ke ne reinen Sinuswellen, besonders EW s hr unregelmäßig.
	M_{1E}		22		36		(350)		
21. Juli	M_2		25		20	20	80	50	
	M_3		30		16	16	45	35	
	M_4		45		16	16	40	40	
	F nach	10							Im Streifenwechsel.

21. Juli	e	10	51	48					
	e_E		55	16					
	e_E		57	20					
	e_E		59,5						
	i	11	02	46	12—14		9		
	e_E		08	28					
	e_L		12						
	M_1		25		20	20	25	18	
	M_{2E}		34		20		24		
	M_{3N}		40,5			16		9	
	F	11,7							
22. Juli	e_E	20	05	21					In NS Beginn unsicher.
	e		06	01					
	e		07	24					
	e_E			44	5		7		
	F	21,0							Weiterhin unregelmäßige Bewegung ohne deutliche Einsätze.
28. Juli	e_N	21	48,5						
	e_N		52	44					
	e		57	56	8	6	3	4	
	e		58	36	8	8	2	3	
	e_L	22	11,5						
	M_{1N}		18,5			28		35	
	M_2		23,0		22	22	15	25	
	M_3		26,0		18	16	10	20	
	F	23,5							
7. August	e	04	02,0						
	e_L		41						
	M_1		52,5						

Datum 1934	Phase	M. Gr. Z.			T_E	T_N	A_E	A_N	Bemerkungen
		h	m	s	s	s	μ	μ	
7. August (Forts.)	M_{2E}	04	57		22		8		
	M_{2N}	05	01			20		15	
	M_3		03,5		20	20	7	18	
	F	05,9							
7. August	e	12	10,3						Beginn unsicher.
	e		16,3			8—10			
	eLN		17,5			16		8	
	M_1		21,5		10	10	9	5	
	M_{2N}		23,5			10		7	
	F	?							In starker mikroseismischer Bewegung.
11. August	e	09	01,5		8	9	2	2	
	M_1		04		18	18	3	6	
	M_2		12		16	16	10	12	
	F	09,5							
13. August	e	00	15						
	eL		30						
	M_1		43		28	28	14	43	
	M_2		50		18	18	13	15	
	F	01,3							
31. August	eP	05	10	23					
	$\{ePR_1$		11	51					
	$\{m_N$		12	11		6			
	e_N		14	18		4			
									$\Delta_{S-P} = 4400 \text{ km. Herdgebiet Baffin-Bay.}$

	e								
	$\{eS$								
	$\{m$								
	e_N								
	eL								
	M_1								
	M_{2N}								
	M_3								
	M_{4N}								
	M_{5N}								
	M_{6E}								
	F	06,3							
31. August	e_E	15	05	43					
	e		07	32					
	e		12,0						
	e		14,6						
	eL		19,0						
	M_{1N}		22,5			8		24	
	M_{1E}		25,0		10		15		
	M_2		27		10	10	20	25	
4. September	F	16,0							
	e	01	27	10					
	eL		55						
	M_1		28,2		< 1	< 1	12	8	
	M_2		28,6		< 1	< 1	8	6	
7. September	F		33						
	M	03	49,5		13	14	3	2	Gruppe langer Wellen.
	F		04,1						

Datum 1934	Phase	M. Gr. Z.			T_E	T_N	A_E	A_N	Bemerkungen
		h	m	s	s	s	μ	μ	
12. September	e	15		12,5					
	M_E			19		12	2		
	M_N			20,5				4	
	F	15,7							
5. Oktober	eL	21		5,0					
	M			13,5		16	16	3	3
	F	21,5							
10. Oktober	e	16	01	00					
	i			07	< 1	< 1		4	
	i_N	03		09					
	e	03		22					
	i_N	04		12					
	e			34	4	4			
	e			10	42				
	e			14,2					
	e			23,2					
	eL			28,0					
15. Oktober	F	17,3							
	eL	08	47						
	M		51,5		14	14	6	6	Starke mikroseismische Bodenunruhe.
18. Oktober	F	09,0							
	eL	08	54						
	F	10,0							Spuren langer Wellen.

26. Oktober	e	17	33	56					
	eL		51						
	M_1		58		24	28	30	14	
	M_2	18	05		16	16	25	30	
	F	18,5							
29. Oktober	e	16	27,0						
	eL		31,5						
	M		33,8			16		8	
	F	16,9							
4. November	eL	03	13						
	M	04	38			24		4	In EW nur angedeutet.
	F	05,2							
5. November	e	23	20						
	F	00,4							Lange Wellen. In EW weniger deutlich.
9. November	i	13	44	55	3	3	6	6	
	e		51,0		8	8	3		
	F	14,1							
12. November	eP_E	07	24,5						
	eS		28	44					Einsatz infolge kurzperiodischer Boden-
	M_1		34,5		16	16	21	20	unruhe (Stadteinfluß) unscharf.
	M_2		38		12	12	7	6	$\Delta_{S-P} = 2600 \text{ km.}$
	F	08,1							
16. November	eL	14	40						Nur in NS deutlich.
	M		52,5			24		4	
	F	15,1							

Datum 1934	Phase		M. Gr. Z.		T_E	T_N	A_E	A_N	Bemerkungen
		h	m	s	s	s	μ	μ	
18. November	eP	03	29	08					$\Delta_{S-P} = 4500 \text{ km. Herdgebiet: Turkestan.}$
	e_E		30	20					
	e_E		31	10					
	i_E		32	00	4		5		
	e_E			12					
	$e(S)$		35	28					
	eL		37						
	M		39,0		10	10	5	4	
	F	04,1							
18. November	e	23	41						Lange Wellen, deutlich in NS.
19. November	F	00,1							
27. November	e	06	38,7						
	eL	07	05						Durch Streifenwechsel gestört.
30. November	e	02	22,0						Herdgebiet: Westliches Mittelamerika.
	e		28,9						
	e		30,5						
	eL		43						
	M_1		52		28	28	60	45	
	M_2		58		20	20	20	35	Gegen 03 ^h 00 (in Stundenlücke) Einsatz eines kräftigen Nahbebens. Gefühlt in Ancona.
	F	03,8							
4. Dezember	eL	18	14						In NS nur angedeutet.
	M		19,0		24			20	
	F	18,5							
									Am 10. Dezember 1934 wurde der Seismograph in Leipzig abgebaut.

1935

17. Januar	e	02	28						
	$e(L)$	03	30—35						
	F	04,0							
22. Februar	e	17	27,1						
	e		36,2						
	eL		44						
	M_1		53		24	24	85	25	
	M_{1E}		56,5		20		45		
	M_{1N}		58,5			20		35	
	F	19,0							
25. Februar	iP	02	55	30					$\Delta_{S-P} = 1950 \text{ km. Herdgebiet: Kreta.}$
	i_N		56	54					
	i_S		58	46					
	i		59	02					
	eL	03	01,0						Von hier an NS gestört.
	M_1		02,1		8		40		
	M_2		03,5		9		15		
	F	03,3							
18. März	i	08	44	55					
	i		45	25	4				
	e		48,1		10				
	M		49,0		9		3		
	F	09,1							
									NS gestört. Herdgebiet: Östliches Mittelmeer.



Datum 1935	Phase		M. Gr. Z.		T_E	T_N	A_E	A_N	Bemerkungen
		h	m	s	s	s	μ	μ	
19. März	e	07	31,1						Herdgebiet: Westliches Oberitalien.
	e		31	29	6	6	3	4	
	i			39	6	6	4	5	
	M_1		32,1		6	7	7	3	
	M_2		32,6		6	6	5	3	
	F		35						
30. März	e_E	22	02,5						
	e_L		05,2						
	M_{1E}		07,1		16		11		
	M_{2E}		09,1		16		11		
	M_3		12		16	14	9	6	
	M_4		14,0		16	14	8	5	
	F		23,5						
31. März	eP	03	24	14					
	e		26	38					
	e_N			56		8		2	
	$e(S)$		27	38	5		8		
	i			52	6	6	26		
	i		28	14	6	6	20	10	
	i_E			25	8		10		
	i			54	6	10	16	17	
	i_N		30	26		10		23	
	F		03,9						Keine deutlichen Maxima.

Datum 1935	Phase		M. Gr. Z.		T_E	T_N	A_E	A_N	Benioff Z		Bemerkungen	
		h	m	s	s	s	μ	μ	Phase	m	s	
3. April	eP	11	19,7						iP	19	42	$\Delta_{S-P} = 4500 \text{ km.}$ Hauptphase ohne deutliche Maxima.
	e			21,3					i	20	24	
	$e(S)$		25	51		8		3	i	21	17	
	e_N		29	13		8		4	e			
	e_E			21	8		5					
	F		11,9									
3. April	e	12	25		16	16						Spuren langer Wellen.
	F		13,1									
9. April	eP	20	05,4						iP	05	06	
	$e(S)$		09	40					i	06	16	
	e_N		10	23		10		2				
	e_N		12,9			8		1				
	F		20,4									
11. April	eP	23	21	19		6		2				$\Delta_{S-P} = 3600 \text{ km. Herdgebiet: Peräien.}$
	ePR_1		22	32		6		2				
	e		25,6									
	e_N		26	16								
	eS		26	40	8	6	8	4				
	e		27,1		7	8	7					
	$i(SR_1)$		28	03		9		6				
	i_N		29	56		8		13				

Datum 1935	Phase	M. Gr. Z.			T_E	T_N	A_E	A_N	Benioff EW			Bemerkungen
		h	m	s					Phase	m	s	
11. April (Forts.)	e_N	23	34,3									
	m		34,8				10					
	eL		35					10				
	M_{1E}		36,5		24		34					
	M_2		39		16	20	25	50				
	M_{3N}		41			14		22				
	M_{4N}		42,9			14		16				
12. April	F	?										
	e	01	15									Spuren eines Bebens. (Nachstoß zum vorhergehen- den ?)
19. April	f	01,7										
	iP	15	27	57		6						
	m		28,1			6						
	i		28	11	8	8						
	i		41									
	i_N		30	49								
	iS		31	34	12	10	+210					
	m		31,8		10	10	>230	25				
	i_N		31	55								
	m		32,2			8		160				
	i		32	29	10	14		43	80			
	eL		33,0									
	M_{1E}		34,7		32		1500					
	M_{2E}		35,7		20		>950					
	M_3		36,2		20	16	450	220				
	M_4		37,0		18	20	250	360				

19. April	M_{3N}		39,0			18	16	210				
	M_6		40,5				14	145				
	F	17,3										
	e_E	18	01,8									Nachstoß.
	e_N		02,2									
	eS		06	13								
	m_N		06,6				16		25			
19. April	M_N		10,0				20		12			
	F	10,3										
	e	18,5										Spuren langer Wellen in EW.
	F	18,7										
	iP	20	36	13								
	i		24									
	iS		39	56								
19. April	m		40,2		10	6	19	7				
	eL		42									
	M_E		42,5		20		44					
	M_N		45,5			16		8				
	F	21,1										
20. April	iP	05	15	30								
	m		15,7			4		5				
	iS		19	12								
	m		19,5		8	8	45	9				
	i		20	12	6	8	11	11				
	eL		21									
	M_{1E}		23,1		20		115					
	M_2		26		16	16	38	36				
	M_{3N}		29,2			16		22				
	F	08,1										

Datum 1935	Phase	M. Gr. Z.			T_E	T_N	A_E	A_N	Benioff EW			Bemerkungen
		h	m	s					Phase	m	s	
20. April	eP_E	22	14	16					i	14	17	$\Delta_{S-P} = 9200 \text{ km. Herdgebiet: Formosa.}$
	eS		24	32					i	24	34	
	e		29,1									
	eL		40,0									
	M_1		46,7		15	20	27	120				
	M_2		48,0		13	14	34	60				
	M_3		50,8		12	13	52	80				
	M_4		54,5		14	12	50	40				
23. April	F	23,9										
			16						iP	56	21	
			17						e	01	05	
			17,2						$eS?$	05	05	
1. Mai									F			
			10						eP	29	52	$\Delta_{S-P} = 2500 \text{ km. Herdgebiet: Transkaukasien.}$
									iP	54	54	
									iPR_1	30	22	
									i	31	15	
									i		49	
									eS	33	53	
									e	34	17	
	eS		34,3									
4. Mai	m_N		34,7									
	eL		39									
	M_E		40,5									
	M_N		42,1									
	F	11,2										
5. Mai	e_N	23	46,0									
	e		49,6									
13. Mai	eL		53,0									
	M		55		13	13	6	3				
	F	00,1										
	e	20	14,9									NS gestört.
	e		23,1									
14. Mai	eL		33									
	M		43,0		14		5					
	F	21,4										
	eP_N	23	41,5						e	41,5		
15. Mai	e_N		42,3						e	42	30	
	$eS?$		48,0						e	43	15	
	00								e	01	49	
15. Mai	eL		14									
	M_N		21									
	F	01,2										
15. Mai	02								eP	09	58	
									e	10	24	
									e		32	
									e	11	50	
									$eS?$	15	50	
	e		16	42	10	10	2	8				
	eL		27,5									
	M_{1N}		30,5									

Datum 1935	Phase	M. Gr. Z.			T_E	T_N	A_E	A_N	Benioff EW			Bemerkungen
		h	m	s					Phase	m	s	
15. Mai (Forts.)	M_2	02	33		15	18	6	5	e	33,7		
	M_{3E}		37,2			11	6					
	F	03,1										
16. Mai		17							e	33,7		
	e_N		40,5									
	e_E		43,6			8						
	e_L		50,0									
16. Mai	F	18,0							e	33,7	Spuren langer Wellen.	
	e_F	22	23									
24. Mai		05							e	49	52	Spuren langer Wellen.
	e_E		56							52	12	
	e	06	00,1							53	41	
	m		01,2			18			e	01,7		
	e		00,4		12	12	8	8				
	e_L		18,0									
	M_{1N}		25			30		45				
	M_{1E}		30,5		20		17					
	M_{2E}		33,5		22		29					
	M_3		36		15	16	28	21				
	M_{4N}		49			20		32				
	F	08,2										
									Im Streifenwechsel.			

24. Mai	e	23	58,5									
25. Mai	M_N	00	09,0									
	M_E		11,4		15	20						
	F	00,5					4	6				
26. Mai	e_E ?	22	30									
	e_L		47									
	M	23	03		16	16	5	3				
	F	23,9										
30. Mai		21										
	iP		41	12	6				eP	41	11	$\Delta s-p = 5000 \text{ km. Herdgebiet: Belutschistan. Quetta zerstört.}$
									iP		12	
									i	16	19	
									i	46		
	i_E			44					iPR_1	43	04	Vgl. Fig. 12 auf Tafel III.
	i		43	44					i	30		
	i		44	13					i	06		
									i	02		
	iS		47	54					i	10		
	i		48	20	10				i	49		
					46	12	23		i	31		
	e		51	56					i	44		
	m		52,1		14		35		e	19		
	e_L		54						e	30		
	M_1	22	02		22	20	540	1000	e	50		
	M_2		04		19	15	380	460		51	59	
	M_3		06		14	14	290	420				



International Seismological Center

Datum 1935	Phase	M. Gr. Z.			T_E	T_N	A_E	A_N	Benioff EW			Bemerkungen
		h	m	s					Phase	m	s	
30. Mai (Forts.)	M_{eE}	22	07,5		14		310					
	M_{eN}		10			16		260				
31. Mai	W_3	01,2										
	F	01,7										
31. Mai	e	02	20									Spuren eines Bebens.
	F	03,0										
2. Juni		09										$\Delta_{S-P} = 4800 \text{ km. Herdgebiet: Belutschistan.}$
	e_E		26,3						eP	24	44	
	e_N		36,5						ePR_1	26	43	
	eL		43						e	27	18	
	M_E		49,0		12		6		e	28	39	
	F	10,1							eS	31	13	
5. Juni		11							e	36	32	
	e		50,5						i	49	4	
	e		51	50		2	1-2		i	5		
	M		52,1			2	4	6	i	50	0	
	F		59						i	1'		
									i	33		

24. Juni



Datum 1935	Phase	M. Gr. Z.			T_E	T_N	A_E	A_N	Benioff EW			Bemerkungen
		h	m	s					s	μ	μ	
27. Juni (Forts.)	e	17	20	46								
	e		21	11								
	e			20								
	eL		21,4									
	M_1			44	2	2	56	54				
	M_{2N}			22,1		6		62				
28. Juni	F	17,7										
		09										
	e		11	35								
	M_1		11,7									
	M_2		12,0			6		2				
29. Juni	F	09,3										
	eL	07	33									
	M_1		44,5		19	18	34	20				
	M_2		47,3		14	16	17	7				
	M_{3E}		49,8		14		14					
	M_{3N}		53			14		13				
5. Juli	F	08,8										
		18										
	e		02,0									

	e_N	06,6							iS	06	56	
	e	09,4							e	09	14	
	eL	14,0							iSR_1		40	
	M_{1E}	19,0										
	M_2	21			14	12	21	10				
	F	18,9										
7. Juli	eL	14	10,0									
	M		17		14	14	5	4				
	F	14,6										
9. Juli	e	13,3										
	F	13,8										
11. Juli	eL	09	07									
	M		19		12	14	3	3				
	F	09,5										
12. Juli	e	02	08,9						e	08	45	
	e		09,5						e	09	45	
	e		11,3						e	11,5		
	$e(L)$		15						$e(L)$	15		
	F	02,3										
12. Juli		03							i	49	40	Vorläufer eines Fernbebens?
									i		46	
13. Juli		00							i	06	14	Zu Beginn längere Perioden.
		00,3							F	08	40	Sehr kurze Perioden.

Datum 1935	Phase	M. Gr. Z.			T_E s	T_N s	A_E μ	A_N μ	Benioff EW			Bemerkungen
		h	m	s					Phase	m	s	
16. Juli		16							iP	31	18	Herdgebiet: Formosa. $\Delta_{S-P} = 9200$ km. Wiechert-Registrierung gestört.
		17							eS	41	30	
		17,4							eL	01		
									F			
19. Juli	eP	01	02,1						iP	02	04	$\Delta_{S-P} = 9200$ km.
	eS_N		12,5						i		10	
	e		21,5						ePR_1	04	50	
	e_E		27,0						e	06	28	
	eL		31						eS	12	16	
	M_1		35,7		18	18	19	13				
	M_2		37,7		14	18	14	18				
	M_{3E}		39,2		18		30					
	M_4		41		17	22	23	50				
	M_6		43		15	18	17	35				
24. Juli	F	02,2							i	19	18	Nahbeben.
		22							i		30	
									M	20,0		
									F	22,5		
											40	

26. Juli	e_N	10	58,1									
	e	11	02	51								
	e		04,7			7						
	e		06,0									
	M_1		07				20		20			
	M_2		12		10	12	4	4				
	M_{3E}		14,3		12							
	F	11,8										
28. Juli		05							e	31	50	Vorläufer eines Fernbebens.
									i		51	
									i		58	
									e	32	02	
									i		15	
									e	33	31	
									i	34	16	
									F	40		
29. Juli		07							e	57	46	Tiefherdbeben. Herdgebiet: Tonga Plateau.
									i		48	
			57	52					i		53	
			59	42					i	59	35	
			01	24					e	00	46	
			02	30					e	01	24	
				56					e	02	24	
			04,0						e		58	
			06,0						e	04	40	
			07,5						e			
			11,0									
			11,7									

Datum 1935	Phase	M. Gr. Z.			T_E	T_N	A_E	A_N	Benioff EW			Bemerkungen
		h	m	s					s	μ	μ	
29. Juli (Forts.)	e	08	14,2			10		9				
	e		15,0									Keine Hauptphase. Im Streifenwechsel.
	e		19,0			20						
	F	10,3		•								
31. Juli	eL	10	20,0									Lange Wellen.
	F	10,6										
1. August	eL	14	55									
	M _{1E}	15	07		18							
	M ₂		11		18	16	5	3				
	F	15,4										
1. August	eL	16	50		19	26	2	6				Lange Wellen.
	F	17,3										
3. August		01										
	ePE		22	27								
	e			41								
	eS		32,7									
	mE		33,9		11							
	eL		52									
	M _{1N}		53									

3. August	M _{2N}		59,8			30	24	80				
	M ₃	02	01		19	20	24	43				
	M ₄		03		18	24	23	60				
	M ₅		06,5		18	24	48	55				
	F		03,4									
		05										
	eP											
	e											
	e											
3. August	e(S)		39	50								
	eE		41,6									
	eE		43,1									
	F		06,0									
	iS											
	M											
	F											
17. August	e	12	42									
	M _N		45									
	F		54									

Datum 1935	Phase	M. Gr. Z.			T_E	T_N	A_E	A_N	Benioff EW			Bemerkungen
		h	m	s					Phase	m	s	
4. Sept. (Forts.)	M_1	02	21,5		26	32	28	45				Geht in das nächste Beben über. Nachstoß ?
	M_2		25,0		22	18	50	40				
	M_3		27,5		14	16	18	30				
	M_4		32,5		14	15	72	85				
	M_{5E}		36,6		14		29					
	F	?										
4. Sept.	eL	04	11									Nachstoß ?
	M_1		18,6		12	13	4	4				
	M_2		22		10	13	4	5				
	F	04,9										
9. Sept	e	06	36,6									L. Weickmann und P. Mildner:
	e		40,4									
	e_E		45	33	12		2					
	eL	07	01									
	M_1		07		52	50	125	60				
	M_2		10,0		32	38	65	90				
	M_3		12,5		30	24	100	65				
	M_4		21,5		24	24	37	26				
	M_5		25		19	18	25	18				
	F	09,0										
11. Sept.	iP	14	15	57	10	10	-10	-6				$\Delta s-p = 8400 \text{ km. Herdgebiet: Kurilen.}$
	iN		16	52								
	eN		18	06								
	eN		19	32								

eN		20	32									
iS		25	39	9	8	-20	+18					
iPS		26,0		6	7	8	9					
eN		31,5			30		38					
eL_1		38										
M_{1N}		43,5			40		210					
eL_2		45										
M_1		48		22	22	155	120					
M_2		51		24	18	150	110					
M_{3N}		53,2			20		130					
M_5		55		14	10	55	115					
M_6		56,5		14	18	42	125					
W_2	16	22—50		20	20	7	5					
M		28,5										
F	17,1											
Geschwindigkeit der W_s -Wellen etwa 3,9 km/sec.												
15. Sept.	eL	12	18,0									
	M_1		26	24	26	8	10					
	M_{2E}		29	20		9						
	F	12,9										
15. Sept.		15										
	eL											
	M_N	16	58									
	F	16,5	10									

Datum 1935	Phase	M. Gr. Z.			T_E	T_N	A_E	A_N	Benioff EW			Bemerkungen
		h	m	s					s	μ	μ	
15. Sept.	e	23	16	05	10	10	5	1				
	e		19,3									
	m		19,7		8	8	3	4				
	F	23,6										
16. Sept.	e	01	58,0									Spuren langer Wellen.
	F	02,1										
18. Sept.	e	09	04	20								
	eL		07									
	ME		10,0		24							
	MN		13			20						
	F	09,5					8	5				
18. Sept.		05										
	eE		19,5									
	M		20,0		10							
20. Sept.	F	05,5					1					
	-	02										
	e	06	30	9	9		2	1				
	iPR ₁		50		14			6				

	eSKS	14	24	19	20	40	40	e	14,5			
	ePS _N	16,7						e	16,6			
	e	21	30	16	16	21	16	e	21,5			
	eSR ₁	22	46	20	20	100						
	eN	25	32	30	30							
	eSR ₂ ?	26,3										
	eL	34										
	M _{1N}	38			60		420					
	M ₂	44		32	40	270	590					
	M ₃	47		26	24	200	200					
	M ₄	52		20	26	300	300					
	M ₅	54		24	28	200	340					
	M _{6E}	58,7		20		150						
	M _{6N}	03	00		18		140					
	M _{7E}	08,3		17		135						
	F	05,2										
20. Sept.	e	05	42	54	10	11	5	2				
	e	48	44	8			4					
	e	50,9			14							
	eN	51,3			12			1				
	e	52	48		16			9				
	eN	53,9										
	eN	59,2										
	eL	06	17									
	M ₁	25		24	24	37	38					
	M _{2E}	30,0		20		40						
	M _{2N}	32,0			18			20				
	M _{3E}	33,0		18		38						
	M _{3N}	35,0			20		40					
	F	07,7										

Datum 1935	Phase	M. Gr. Z.			T_E	T_N	A_E	A_N	Benioff EW			Bemerkungen
		h	m	s					Phase	m	s	
2. Oktober	iP	05	44	48								$\Delta_{S-P} = 8500 \text{ km. Herdgebiet: Japan. Vorphase in } EW \text{ sehr schwach.}$
	e_N		45	38								
	i_N		46	48								
	e_N		48	24								
	e_N		53,6									
	iS		54	36	8			3				
	i_N			56								
	e_N		56,5									
	eL	06	12									
	M_1		20									
8. Oktober	M_2		22,5									$\Delta_{S-P} = 2600 \text{ km. Herdgebiet: Island.}$
	F	07,0										
	e	09	35	33								
	e		37,4									
	eL		39									
9. Oktober	M_N		43,2									$\Delta_{S-P} = 2600 \text{ km. Herdgebiet: Island.}$
	M_E		45,4									
	F	10,2										
	eP	22	13	39								
	iP			46								
11. Oktober	$\{iS$		17	47								<p>Hauptphase eines Nahbebens. Von Benioff EW registriert, ebenso Nachstoß gegen 04.5^h. Zeitmarkierung nicht in Ordnung.</p>
	$\{m$		17,9									
	eL		19									
	M_{1N}		21,5									
	M_{1E}		22,5									
	M_{2N}		23,3									
	M_3		25									
	F	23,1										
11. Oktober	e	00	50									<p>Hauptphase eines Nahbebens. Von Benioff EW registriert, ebenso Nachstoß gegen 04.5^h. Zeitmarkierung nicht in Ordnung.</p>
	F		52									
	e	22	45,3									
	eL	23	12									
	M_1		18									
	M_{2E}		21,1									
	M_{2N}		23,5									
	M_{3E}		24,5									
12. Oktober	M_{3N}		26,1									<p>Hauptphase eines Nahbebens. Von Benioff EW registriert, ebenso Nachstoß gegen 04.5^h. Zeitmarkierung nicht in Ordnung.</p>
	F	23,9										
	eP_N	16	57	21								
		17										
12. Oktober	eP											<p>Hauptphase eines Nahbebens. Von Benioff EW registriert, ebenso Nachstoß gegen 04.5^h. Zeitmarkierung nicht in Ordnung.</p>
	iP											
	i											
	e											
	e											
	iPR_1											
	e											
	e											
12. Oktober	ePR_1											<p>Hauptphase eines Nahbebens. Von Benioff EW registriert, ebenso Nachstoß gegen 04.5^h. Zeitmarkierung nicht in Ordnung.</p>
	e											
	e											
	e											
	e											
	e											
	e											
	eS											
12. Oktober	eS											<p>Hauptphase eines Nahbebens. Von Benioff EW registriert, ebenso Nachstoß gegen 04.5^h. Zeitmarkierung nicht in Ordnung.</p>
12. Oktober	eS											<p>Hauptphase eines Nahbebens. Von Benioff EW registriert, ebenso Nachstoß gegen 04.5^h. Zeitmarkierung nicht in Ordnung.</p>
12. Oktober	eS											<p>Hauptphase eines Nahbebens. Von Benioff EW registriert, ebenso Nachstoß gegen 04.5^h. Zeitmarkierung nicht in Ordnung.</p>
12. Oktober	eS											<p>Hauptphase eines Nahbebens. Von Benioff EW regist</p>

Datum 1935	Phase	M. Gr. Z.			T_E	T_N	A_E	A_N	Benioff EW			Bemerkung
		h	m	s					μ	μ	Phase	
12. Oktober (Forts.)		17									ePPS	08
	cSR_1		12,4								e	09,1
	eL		23,5								eSR_1	12,4
	M_1	17	30		32	18	120	70			eSR_2	15,6
	M_2		32		20	16	150	67				
	M_3		35		16	18	75	52				
	M_4		37		14	14	37	47				
	M_{5N}		38,5			16		65				
	F		18,9									
12. Oktober	eL	18	57,5									
	M_1		59,5		18	18	5	5				
	M_{2E}	19	04,1		16		5					
	M_{2N}		07,0			13		4				
	F		19,5									
13. Oktober	eL	02	40,8									
	M_{1E}		42,5		18		9					
	M_2		45		16	16	8	5				
	M_{3N}		49,5			14		6				
	F		03,1									
13. Oktober	e	19	46,5									
	F		19,9									
												Spuren eines Bebens. In EW sehr schwach.

18. Oktober	eP	00	24	05						i	24	04	$\Delta_{S-P} = 8800 \text{ km. Herdgebiet: Japan.}$
	ePR_{1E}		27,1							iPR_1	27	01	
	ePR_{2E}		28	52						iPR_2	28	51	
	eE		30	54						i	29	06	
	$e(S)_N$		33	53		12		3		$ePR_3?$	30	49	
	iS_E		34	00	6		1			e	33	34	
	i_E		13	16			12			iS	34	00	
	e_N		25							i		23	
	e_E		55	8			4			iPS		56	
	e		38,8							$iPPS$	35	13	
	eSR_1		39,2							e	38,9		
	e_E		45,3		15		4			e	39,3		
	eL		49										
	M_{1E}		53,0		40		55						
	M_2		57		20	18	165	77					
	M_{3E}	01	01,5		16		80						
	M_{3N}		04,1			16		90					
	F		02,4										
18. Oktober	e		10,9										In EW Spuren eines Bebens.
	F		11,1										
18. Oktober			11							iP	19	21	Δ etwa 11500 km. Herdgebiet: Guam.
*	e_E		23,1							i	22	42	
	e_E		23,5		8					iP'	23	05	

Datum 1935	Phase	M. Gr. Z.			T_E	T_N	A_E	A_N	Benioff EW			Bemerkungen
		h	m	s					Phase	m	s	
18. Oktober (Forts.)		11							e	28	28	
	e		32	28					eSKS	29	58	
	iPS		40						eS	31	00	
	iE		58		14	14	3	3	e	32	34	
	eE		34,9						ePS	39		
								i	33	18		
								e	34	54		
								e	35	29		
								i	37	16		
								eSR ₁		56		
	eSR ₁		38,0			16	7		eSR ₂	43,0		
	eL		56									
	M ₁	12	06		24	28	28	37				
	M ₂		08,5		20	20	22	31				
	F	12,9							iP	05	39	
18. Oktober		15							i	06	38	
								i	07	44		
								i	01			
								i	20			
								i	57			
	e		15	55				iPR ₁	09	25		
								iS	15	56		
								i	16	05		
								i	36			

									iPPS	17	11	
								e	20	15		
								eSR ₁	21,1			
								eSR ₂	24,9			
	eL		34									
	eL ₁		39,1									
	M ₁		39,8		22	22	55	22				
	M ₁ E		41,7		17							
	M ₁ N		46,2									
	F	16,3										
18. Oktober		22							i	03	32	
								i	06	02		Spuren eines Bebens in starker mikroseismischer Bewegung.
	eL		35									
	F	22,9										
19. Oktober	eL	05	25									
	M		27		20	20	7	6				
	F	05,7										
20. Oktober		04							e	50		
								F	53			Hauptphase eines Nahbebens. Starke mikroseismische Unruhe.
21. Oktober		11						i	08	53		
								i	09	50		
								i	00	05		
								i	21			
								i	31			
								e	45			
								i	10	00		

Datum 1935	Phase	M. Gr. Z.			T_E	T_N	A_E	A_N	Benioff EW			Bemerkungen
		h	m	s					s	μ	μ	
21. Oktober (Forts.)	e	11	10,5						i			20
	eL		10,8						F			
	M		11,2		7		6			18		
	F		15									
22. Oktober		07							i	33	10	
									i	34	34	
									i	34	20	
									i	35	00	
									i	19	19	
									i	32		
									i	36	17	
									i	37	42	
	e		37,5						i	38	12	
									i	39	56	
26. Oktober		21							i	16		
									i	25	22	Vorphase eines Fernbebens.
									i	31		
									i	40		
									i	27	13	
									i	41		
									i	28	21	
									e	30,5		
									F	33		
27. Oktober		06							i	50	31	Vorphase eines Fernbebens.
									i	53	53	Starke mikroseismische Unruhe.
1. November		16							iP	33	43	$\Delta_{S-P} = 8200 \text{ km. Herdgebiet: Golf von Tonkin nach Chiu-feng.}$
									i	34	12	
									i	41		
									i!	52		
									i	35	22	
									i	43		
									iPR ₁	36	31	
									i	37	03	
									iPR ₂	38	13	
									i	39	00	
7. November	e	43,2							i	39	33	In EW sehr unregelmäßige Hauptphase.
									i	40	15	
									e	42	45	
									iS	43	13	
									i	44	57	
									eSR ₁ ?	47	27	
	e		51,7									
	eL		55									
	M ₁		05		22	24	24	75				
	M _{2N}		06,9			20		95				
	F		17,9									
7. November		04							i	40	16	Herdgebiet: Jugoslawien.
									i	27		
									i	47		
									i	54		
									i	10		
									e	35		

Datum 1935	Phase	M. Gr. Z.			T_E	T_N	A_E	A_N	Benioff EW			Bemerkungen
		h	m	s					μ	μ	Phase	
8. November		06									i	44
											i	02
											i	34
											M	46
											F	00
0. November	e_E	04	02,5									
	e_N		12,0									
	e_L		22									
	M		27									
	F		05,0									
2. Dezember	e_L	00	27									
	M_1		31,5									
	M_2		38,5									
	F		01,0									
2. Dezember	e_L	16	25									
	M_{1N}		28,3									
	M_2		36,0									
	F		16,9									
9. Dezember	e_L	09	04,5									
	M		14,5									
	F		09,5									

L. Weickmann und P. Mildner:

14. Dezember		01									iP	43	28	Tiefherdbeben. Herd: $6,5^\circ S$, $72,5^\circ W$ nach USCGS. Herdtiefe 350 km.
											i	34		
											i	44		
											ii	45	45	
											i	46	25	
											e	47	12	
											i	21		
											i	48	11	
											i	49	51	
											i	52	30	
	e_E		50,1								iS	53	03	
	e_S		53	05							i	54	44	
	e		53,7								i	02		
											i	35		
	e_E		55,2								e	50	00	
	e_N		55,9								i	31		
											i	59	35	
											i	42		
											i	00	18	Beginn eines neuen Bebens?
	e_L		04											Sehr schwache Hauptphase.
	M_{1E}		08,0											
	M_{2E}		16,0											
	F		02,7											
14. Dezember		22									eP	18	14	$A_{S-P} = 9000$ km. Herd: $14^\circ N$, $93^\circ W$ nach USCGS.
											i	19	05	
											i	19		
											i	20	12	
											ePR_1	22	15	
											i	24		
														Wiechert schreibt nur zeitweise in NS.

Die 1931–35 in Leipzig u. im Obs. am Collenberg aufgez. Erdbeben

Datum 1935	Phase	M. Gr. Z.			T_E	T_N	A_E	A_N	Benioff EW			Bemerkungen
		h	m	s					μ	μ	Phase	
19. Dezember		23									i 18 27	Vorläufer eines Fernbebens?
											e 20 10	
											i 21	
											F 24	
20. Dezember		18									Benioff EW und Z	
	e	19	59,6								e 56 09	
	e _N	19	04,7								e 58 25	
	e _N		11,8								e 59 31	
	e _L		40									
	M _{1N}		52,0			24		9				
	M ₂		57,0			20	20	11	12			
	F	20,8										
23. Dezember		13									i 55 09	Fernbebenvorläufer.
											i 20 29	
											i _Z 47	
											i _E 49	
											F 59,0	
26. Dezember		20									i _Z 26 31	Fernbebenvorläufer.
											i _E 34	
											i 32 04	
											i _Z 45 42	
											F 47	

28. Dezember	eP	02	48	15						iP	48	11	Dilatation. Herdgebiet: 3° S,
	i			23						i	17	17	97° E nach USCGS, Südküste von Sumatra.
	i _Z									i _Z	51	17	
	ePR _{1E}		51	43						iPR _{1Z}	41		
	ePR _{2E}		53	48						ePR _{2Z}	42		
	e _E		55	30						e	55	03	
	i _N		58	47						i	58	42	
	i _E		59	03						i	58	58	
	m _N		59,3			24			450	i _Z	59	17	
	m _E		59,5			18				e _Z	00	11	
	e	03	03,5										
	e _N		04,5										
	e _N		08,1										
	e _E		09,1										
	m _E		10,1			24			90				
	i _N	03	10	24									
	e _L		15,8										
	M _{1N}		17			46			320				
	M _{2N}		21,0			26			200				
	M _{3N}		28,0			24			150				
	M ₄		30			20	185		120				
	M _{5E}		34,0			20	130						
	M _{5N}		36,5			18			85				
	M _{6N}		52			22			150				
	eW ₂	04,7											
	M		57			22	22		30				
	F	06,2											
29. Dezember		05								i _Z	05	19	Leichtes Nahbeben. Beginn sehr schwach.
										i _Z	21		
										i _Z	36		

Datum 1935	Phase	M. Gr. Z.			T_E	T_N	A_E	A_N	Benioff EW			Bemerkungen
		h	m	s					Phase	m	s	
29. Dezember (Forts.)	05								i	06	16	
									i_E	21		
									i_Z	22		
									i_E	31		
									i_E	41		
									i_Z	42		
									M_Z	48		
									M_E	06,9		
									F	08,5		
29. Dezember	23								e_Z	55	07	
									e	43		
									i	56	04	Fernbebenvorläufer.
									e	57	02	
30. Dezember	00,1								F			
30. Dezember	03								i_Z	08	40	
									i_Z	50		
									i	51		
									i_E	52		
									e_E	58		
									i	09	01	
									$i_Z M$	58		
									M_E	10,0		
									F	15,0		

Datum 1935	Phase	M. Gr. Z.			T_E	T_N	A_E	A_N	Benioff EW und Z			Bemerkungen
		h	m	s					Phase	m	s	
30. Dezember	03								i	37	14	
									i	18		
									i_E	24		
									i_E	31		
									M_E	38,9		
									F	46		

Anhang

Vogtländische Erdbeben Dezember 1936 und Januar 1937

Datum 1936	Phase	Benioff Z				Phase	Benioff EW				Bemerkungen
		M. Gr. Z.	h	m	s		M. Gr. Z.	m	s	A	
2. Dezember	i	14	10	26		e	10	29	0,6	Die Periode der Bodenbewegung ist bei allen diesen Vogtlandbeben so kurz, daß sie bei der Geschwindigkeit des Papiertransportes von 48 mm pro Minute nicht genau feststellbar ist. Die Amplituden werden daher in mm Ausschlag mitgeteilt.	
				30	1,5						
				31							
				33							
				41							
				44	0,5						
	F	11,0				i	47				
						i	45	1,0			
						F	49	2,0			
							11,1		1,5		

Datum 1936	Phase	Benioff Z			A mm	Benioff EW			Bemerkungen	
		M.	Gr.	Z.		M.	Gr.	Z.		
		h	m	s		h	m	s		
2. Dezember	e <i>F</i>	14	27	39		i <i>F</i>	27	54	1,0	
			28,1					57	0,6	
2. Dezember	e <i>i</i> <i>F</i>	14	45	40		i	46	02		Sehr schwach. ?
			46	02			46,4			
2. Dezember	i <i>i</i> <i>F</i>	15	11	59	0,5	e <i>i</i>	12	12	2,0	
			12	01			17		1,8	
				13,5			12,4			
2. Dezember				12,4						
2. Dezember	i <i>i</i> <i>i</i> <i>F</i>	15	13			i <i>i</i>	13	16		Spuren.
								49		
2. Dezember	i <i>i</i> <i>i</i> <i>F</i>	15	28	22		i <i>i</i>	28	37	1,2	
				25				41	1,2	
				37	0,5		28,9			
2. Dezember	i <i>i</i> <i>i</i> <i>F</i>	16	51	26	1,1	e	51	27		
				29						
				30						

2. Dezember	i <i>F</i>			41	1,0	i <i>F</i>	41		
			52,0				45		
2. Dezember	i <i>i</i>	17	12	25	0,5	i <i>i</i>	12	41	0,5
				27			44	3,0	
2. Dezember	i <i>F</i>			40	0,5	i <i>i</i>	45	3,0	
			13,0				13,0		
2. Dezember	i <i>i</i>	18	00	04	0,9	i <i>i</i>	00	04	0,5
				06					
2. Dezember	i <i>i</i>			08		i <i>i</i>	14		
							17		
2. Dezember	i <i>F</i>			19	0,9	i <i>i</i>	18	2,5	
			00,5				22	2,0	
2. Dezember	i <i>i</i>	18	02	10	2,5	i <i>i</i>	23		
				11	1,5		24		
2. Dezember	i <i>i</i>			13	1,5	i <i>i</i>	27		
				14	1,5				
2. Dezember	i <i>i</i>			15		i <i>i</i>	14		
				22			15		
2. Dezember	i <i>i</i>			24	3,0	i <i>i</i>	24	7,0	
				25	2,0		25	7,0	
2. Dezember	i <i>i</i>						29		

Nach Zeitungsmeldungen gefühlt in
Klingenthal, Brambach, Bad Elster
usw.

Es folgen kurz hintereinander 2 Stöße.
Vgl. Fig. 14 S. 214.

Datum 1936	Phase	Benioff Z			A mm	Benioff EW			Bemerkungen	
		M.	Gr.	Z.		Phase	M.	Gr.		
	h	m	s			Phase	m	s		
2. Dezember	i	18	02	45	2,5	i	02	45	8,0	Maximum des zweiten Stoßes.
	i			48	1,0					
	i			49	1,1	i		49	6	
	i			52	0,9					
	F		04,0			F	04,0			
2. Dezember	i	18	08	42	3,0	i	08	42	1,1	Vgl. Fig. 14 S. 214.
	i			45	1,5					
	i			46						
	i			57	2,5	i		55		
	F		10,0			F	10,5	57	6,5	
2. Dezember	i	18	34	00		i	34	14	1,0	
	i			02		i		18	0,7	
	i			14						
	F		34,4			F	34,4			
	i	19	24	2	1,0	i	24	08	0,5	
2. Dezember	i			17	0,5	i		17	2,5	
	F		24,5			F	24,7			
		20	55				55			Spuren.

2. Dezember	i	21	19	28		i	19	43	0,6	
	i			43		i		47	0,6	
	F		20,0			F	20,0			
2. Dezember	i	21	21	13		i		28	1,0	
	i			27		i		31	0,7	
	F		21,8			F	21,8			
2. Dezember	i	21	45	08						
	i			23						
	F		45,9							
2. Dezember	i	23	41	14	0,5					
	i			16						
	i			18						
	i			22	1,5	i	41	23	0,5	
	i			24						
	i			26		i		20	1,0	
	i			37	1,4	i		33	0,7	
	F		42,0			F		37	3,0	
								40	2,5	
								42,2		
2. Dezember	i	23	43	11	1,0					
	i			13	0,5					
	i			14						
	i			22	1,0	i	43	21		
	i			25		i		25	3,0	
	i			26						

Datum 1936	Benioff Z					Benioff EW					Bemerkungen
	Phase	h	M.	Gr.	Z.	Phase	m	s	A	mm	
2. Dezember (Forts.)	i	23	43	27		i			28	2,0	
	F		43,8			F	43,8				
2. Dezember	i	23	49	10	2,6	i	49	10	1,6	Vgl. Fig. 14 S. 214.	
	i			13	1,0	i		12			
	i			14	1,2	i		14			
	i			15		i		16			
	i			24		i		24			
	i			25	2,5	i		25	6		
	i			28		i		28	8,0		
	i			33		e		37			
	F		50,0			F	51,7				
3. Dezember	e	03	09	26		i	09	40	1,5		
	F		10,2			i		44	1,0		
						i	10	05	0,5		
						F		08			
3. Dezember	i	07	31	08		i	31	22	1,0		
	i			10		F					
	i			22			31,6				
3. Dezember	i	09	11	03		i	11	03			
	i			06		i		07			
	i			07		i		09			
	i			08		i		10			
	i				17	i		17			
						i		18			
						i		22			
						i		24			
	F		12,0			F	12,0				
4. Dezember	i	03	29	19		i					
	i			21		i					
	i			22		i	29	27			
	i			33		i					
	i			36		i		36			
	i			38		F	30,0				
	F		30,0								
10. Dezember	i	10	01	40		i	01	58			
	i			48		i		01			
	i			49		i	02	01	1,5		
	i			01		i		04			
	i			02		F	02,3				
	F		02,3								
16. Dezember	i	19	03	02	1,5	i	03	02	1,5		
	i			03	0,6						
	i			05	0,5						
	i			06	0,5			06			
				16				16	5,0		

Datum 1936	Phase	Benioff Z				Benioff EW				Bemerkungen
		M.	Gr.	Z.	A	Phase	M.	Gr.	Z.	
		h	m	s	mm		m	s	mm	
16. Dezember (Forts.)	i	10	03	17	1,5	F	04,0	04,0	5,0	
	i			20	1,5					
	i			23						
	i			26	0,6					
	i			28	0,5					
	F		04,0							
22. Dezember	i	12	17	42	1,0					Zugehörigkeit zum folgenden Beben fraglich.
	F			43						
22. Dezember	i	12	17	44		i	17	44		
	m			45	6,0					
	i			46						
	i			57	1,5					
	e			58						
	m			59	8,1	i	18	59		Maximalphase in EW etwas ver- schwommen.
	e			01	2,5	e	01	01	oa. 10	
	e			05	1,5					
	i			09						
	i			12						
	F		19,2			F	19,2			
22. Dezember	i	12	21	13						Eben noch merklich.
	i			28						
22. Dezember	i	12	24	39	3,6	i	24	40		
	i			41	1,0					
	i			42	3,0	i		43		
	i			43	2,1	i		43		
	i					i		53		
	e			54		e		55	7,0	
	M			55	4,6	M		58	8,0	
	i			25	01	i	25	00		
	i			05	1,7	i		05		
	F		26,0			F	26,0			
22. Dezember	i	13	51	46	2,0	i	51	47		
	i			47	0,5					
	i			48	1,0					
	i			50	1,0	i		50		
	e			52	00	i	52	00		
	i			01	2,6	i		02	7,0	
	i			03	0,6	i				
	m			04	1,0	i		04		
	i			05	2,0	M		05	5,0	
	e			11		e		11		
	F		52,7			F	52,7			
23. Dezember	i	17	06	50						In Z eben merklich.
	i		07	05		i	07	04	1,0	
	i			06		i		08	1,0	
	F		07,2			F	07,2			
23. Dezember	e	17	10	52		i	10	51	0,6	In Z kaum merklich.
						F		50		

Datum 1036	Benioff Z				Benioff EW				Bemerkungen	
	Phase	h	M. Gr.	Z.	A	Phase	M. Gr.	Z.	A	
			m	s	mm		m	s	mm	
23. Dezember		17				i	16	57	0,6	Fraglich, da in Z nicht erkennbar.
						i		59	0,8	
						F	17,1			
23. Dezember	i	17	17	29	2,0	i	17	29	1,0	
	i			30	0,8					
	i			31	0,6	i		32	0,6	
	e			43		i		43		
	i			44	2,2	M		44	2,5	
	i			46		M		47	3,0	
	i			49		i		50		
	F		18,3			F	18,2			
23. Dezember	i	17	44	24		i	44	39	1,0	
	i			40						
	F		44,9			F	44,9			
23. Dezember	i	20	23	26		i	23	41		
	i			43		M		43		
	F		23,9			i		44		
23. Dezember	i	20	27	38	0,5					
	i			42						
	i			53	0,5	M	27	53		
								54	2,0	

	F	28,0			i	28,2	56	1,2	
23. Dezember	i	20	36	47	0,6	i	36	46	
	i		37	02	0,6	i	37	01	
	i			05		M		02	2,0
	F		37,5			i		05	1,4
24. Dezember	i	01	53	42	1,5	i	53	42	
	i			45		i		44	
	i			55		e		66	
	i			56	1,5	M ₁		57	2,5
	i			58	1,0	M ₂		59	2,0
	i		54	01		i	54	01	
	F		54,3			i		04	
24. Dezember	i	02	09	45	1,2	i	09	45	
	i			48	0,5	i		47	
	i		10	00	1,2	e		58	
	i			01		M ₁	10	00	?
	i			03		M ₂		02	?
	F		10,3			F	10,3		
24. Dezember	i	02	16	00	1,0	i	16	00	
	i			03					
	i			15	1,0	M ₁		15	
						M ₂		16	2,5
	F		16,6			i		18	2,5
						F	16,6	20	

Datum 1936	Benioff Z					Benioff EW					Bemerkungen
	Phase	M. Gr. Z.			A mm	Phase	M. Gr. Z.			A mm	
		h	m	s.			m	s.			
24. Dezember	i	02	19	22	0,6	i	19	37			
	i			38		M_1		38		2,0	
	i			40		M_2		41		1,5	
	F		20,3			F	20,3				
24. Dezember		02				M_1	34	07	0,6		
						M_2		08	1,0		
						F	34,3				
24. Dezember	i	02	35	43	1,5	i	35	43			
	i			46							
	i			49							
	i			58	2,2	i		57			
	i			59	2,0	M_1		59	4,0		
	i		36	02	1,5	M_2	36	01	4,5		
	i			03		i		03			
	i			04		i		04	2,5		
	F		37,0			F	37,0		07	1,0	
24. Dezember	i	02	42	02							Sehr schwach.
	e			17							
24. Dezember		02				i	46	16	1,0		
						i		20	1,0		
						F	46,5				

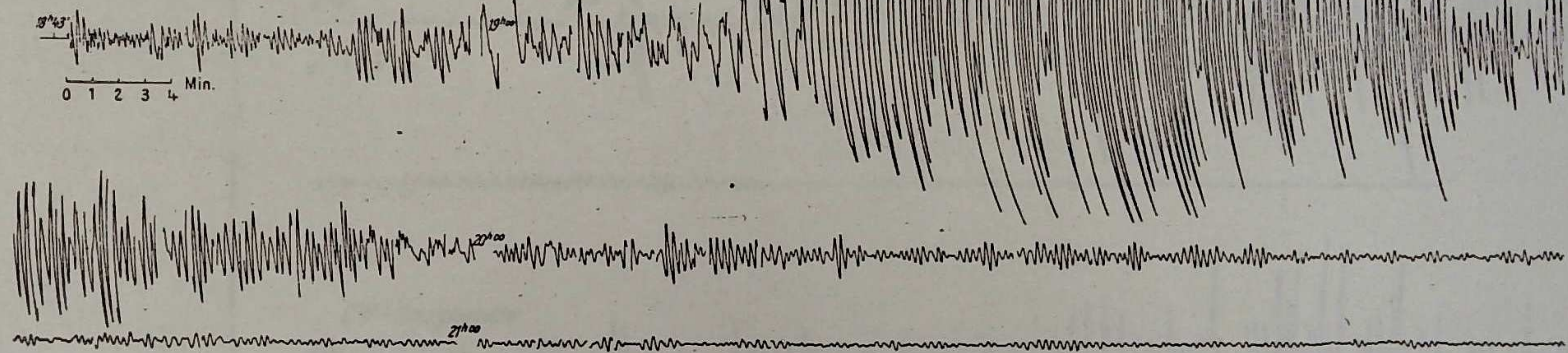
24. Dezember	i	04	45	02							Seh. schwach.
	i			16							
	i			18							
	F		45,4								
25. Dezember	i	04	44	51	0,5	e	44	52			
	i			54	0,5						
	i			45	06	0,5	i	45	06	1,0	
	F		45,3			F	45,3				
25. Dezember	i	06	59	34	0,8	iM_1	59	47	1,0		
	i			48	0,8	iM_2		51	1,0		
	F		00,2			F	00,2				
25. Dezember	i	17	13	15		i	13	28			
	i			18	0,5	M_1		30	1,0		
	i			31	0,5	M_2		33	1,0		
	F		14,0			F	14,0				
27. Dezember		08				M	19	00	1,2		In Z Registrierung gestört.
27. Dezember		09				M_1	15	14	1,0		
						M_2		17	1,0		
27. Dezember		09				M_1	16	08			Fraglich.
						M_2		11			
31. Dezember	i	04	01	16		i	01	28			
	i			29		M_1		29	2,2		
	F		02,0			M_2		31	1,5		
						F	02,0				
1937											
3. Januar	e	02	03	11		e	03	10	1,0		Kaum merklich in Z.
	F			15		F		15			

Datum 1937	Benioff Z					Benioff EW					Bemerkungen
	Phase	h	M.	Gr.	Z.	A	Phase	m	s	A	
						mm				mm	
3. Januar	i	03	06	52		1,5	i	06	44		Gefühlt in Rohrbach bei Bad Brambach.
	i		07	05		1,5	i	07	52		
				08		1,0	M		04		
	i			10		1,0	i		06	4,0	
	i			12		0,5	F	08,0			
	F		07,8								
3. Januar	i	20	21	29		1,0	i	21	29		
	i			30							
	i			31		0,5					
	i			33							
	i			37							
	i			43			i		43		
	M ₁			44		1,0	M ₁		44	2,5	
	i			45			i		46	3,0	
	M ₂			47		1,0	i		47	1,2	
	i			54			i		52		
4. Januar	F		22,7				F	23,0			Andeutung einer M-Phase.
	e	02	54	58			e	54	58	1,0	
	i	06	55	18			i	55	32		
4. Januar	i			32			M		33	1,2	In Z sehr schwach.
	F		55,7				F	56,0			

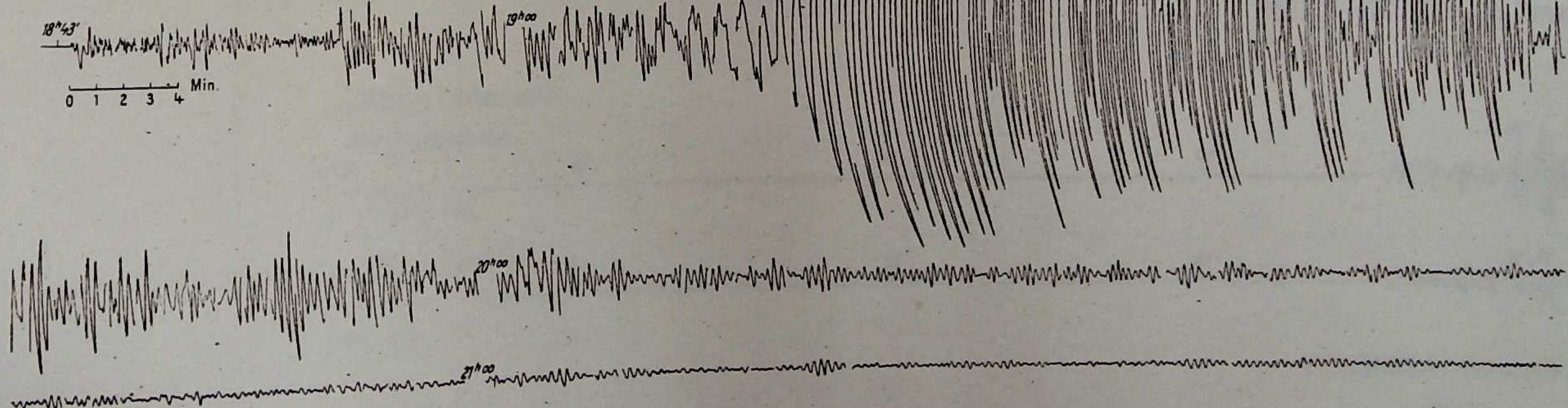


Leipzig (Wiechert)

NS-Komponente



EW-Komponente



JAPAN (Prov. Fukushima) 2. März 1933.

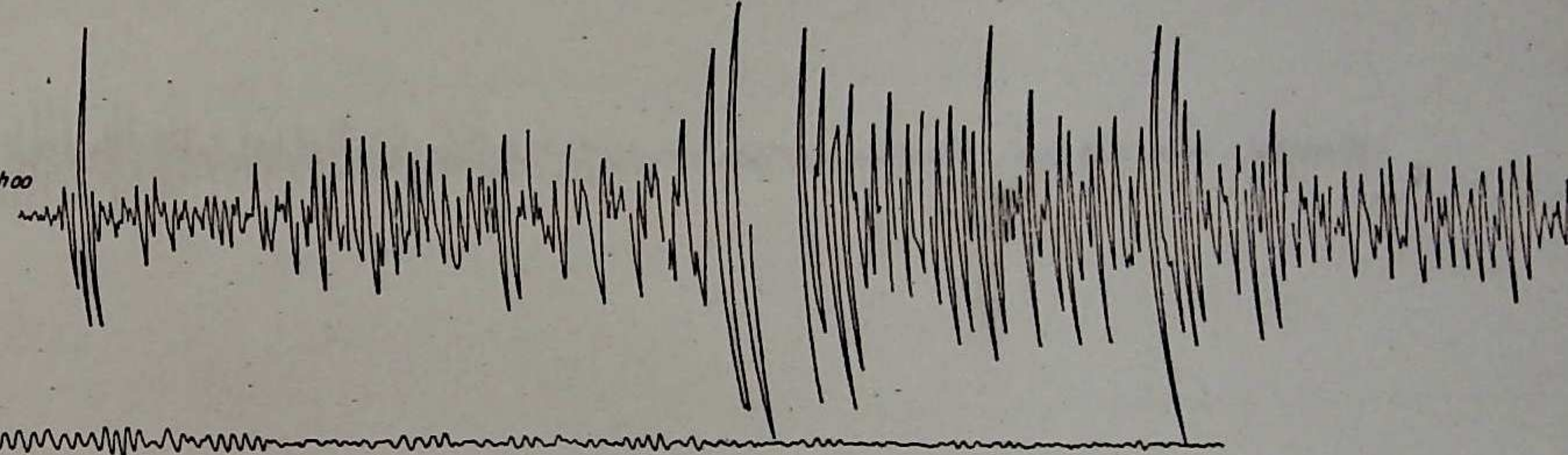
Fig. 9.

Verlag von S. Hirzel in Leipzig.

Leipzig. (Wiechert)

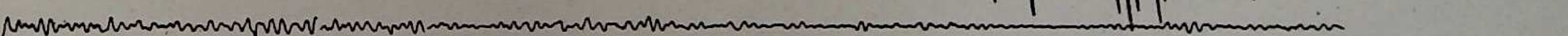
NS-Komponente

$8^h 53'$
0 1 2 3 Min.



EW-Komponente

$8^h 53'$
0 1 2 3 Min.



NORD - INDIEN. 15.Januar 1934.

Fig. 10.

Leipzig (Wiechert)

NS-Komponente

$5^h 12'$
0 1 2 3 Min.

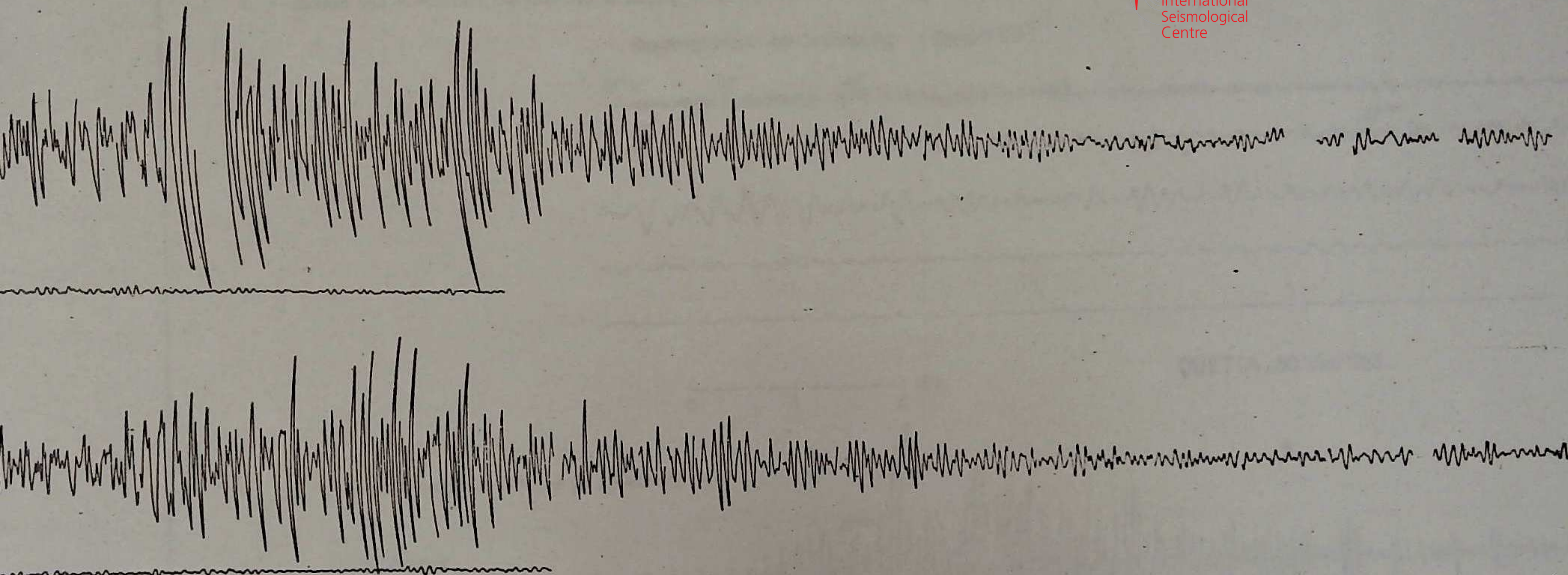
EW-Komponente

$5^h 12'$
0 1 2 3 Min.

Math.-phys. Klasse 1937. Bd. LXXXIX.

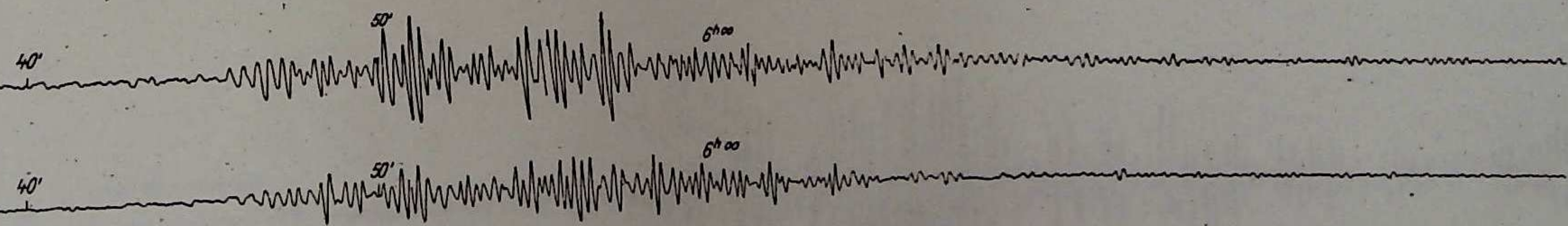
FORMOSA. 14.Februar 1934.

Fig. 11.



NORD-INDIEN . 15.Januar 1934.

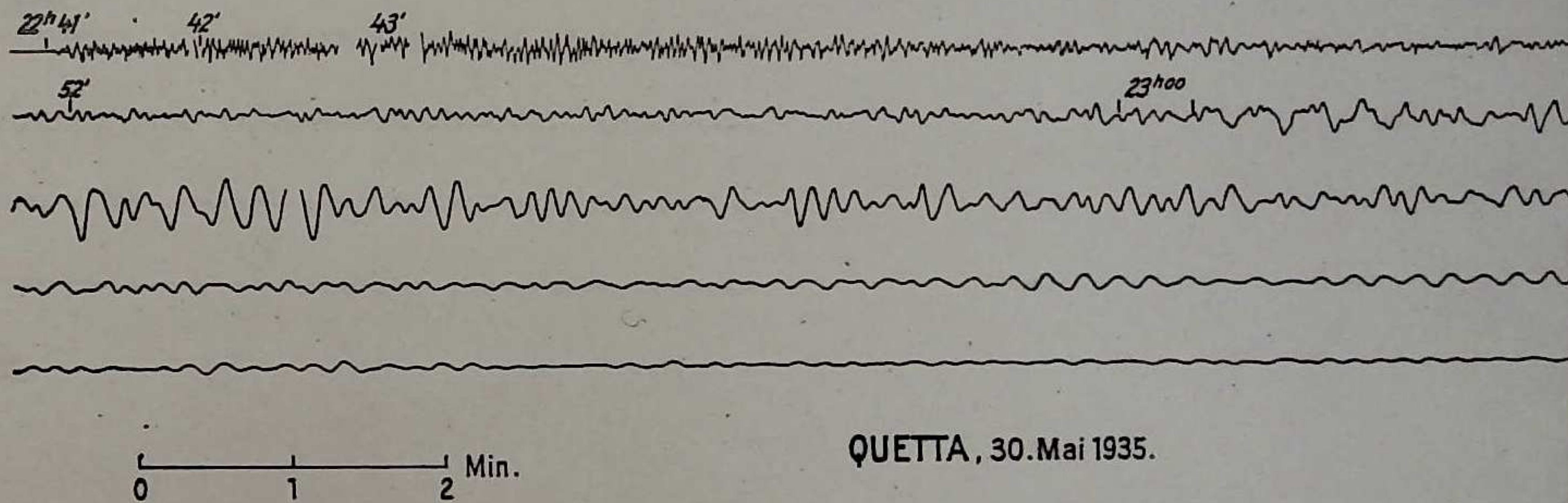
Fig. 10.



FORMOSA . 14.Februar 1934.

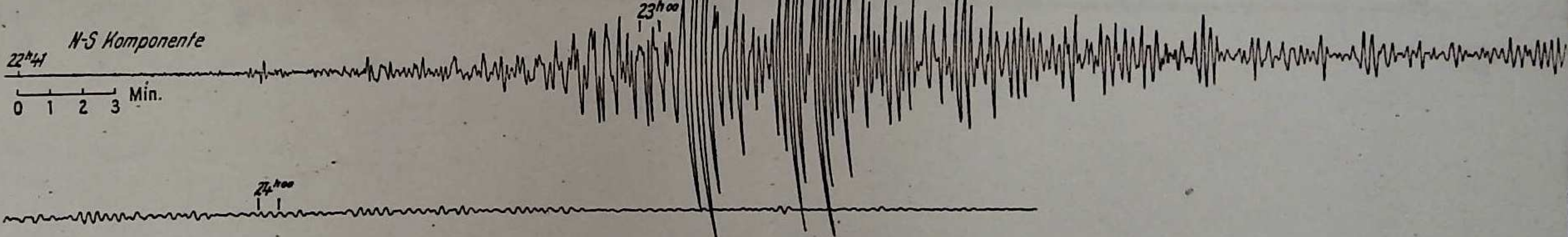
Fig. 11.

Observatorium am Collmberg (Benioff EW)

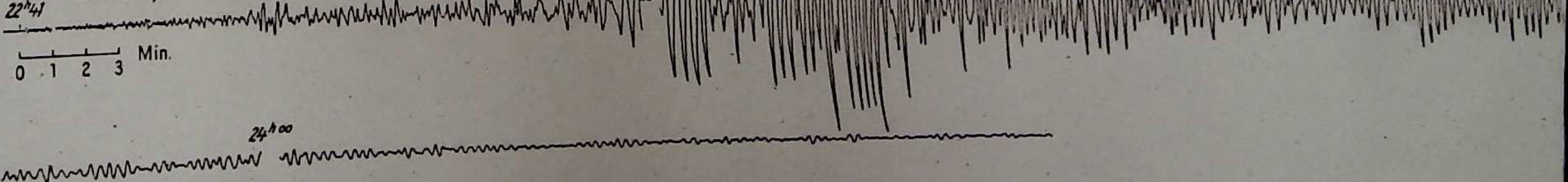


QUETTA, 30. Mai 1935.

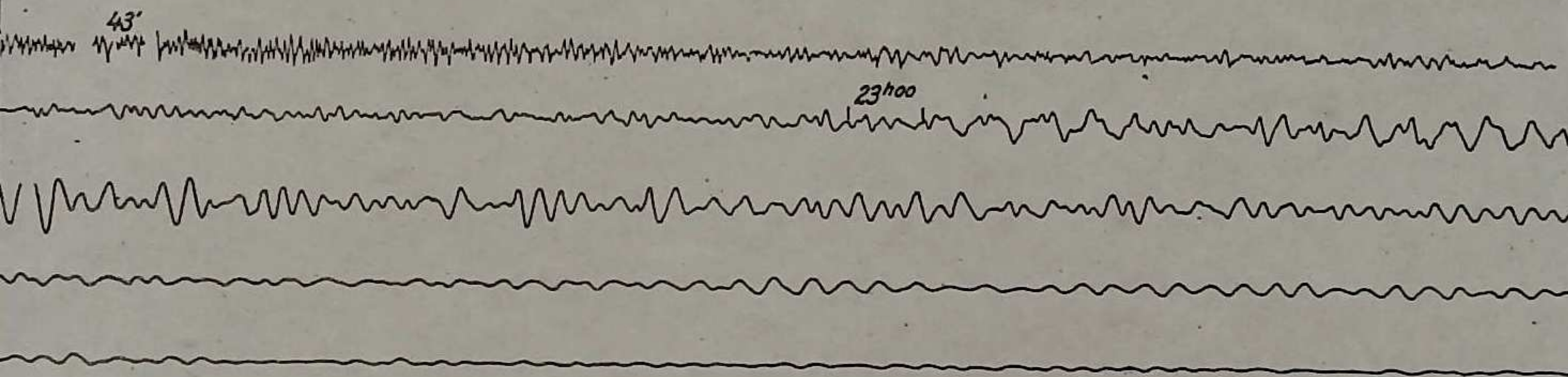
Observatorium am Collmberg (Wiechert)



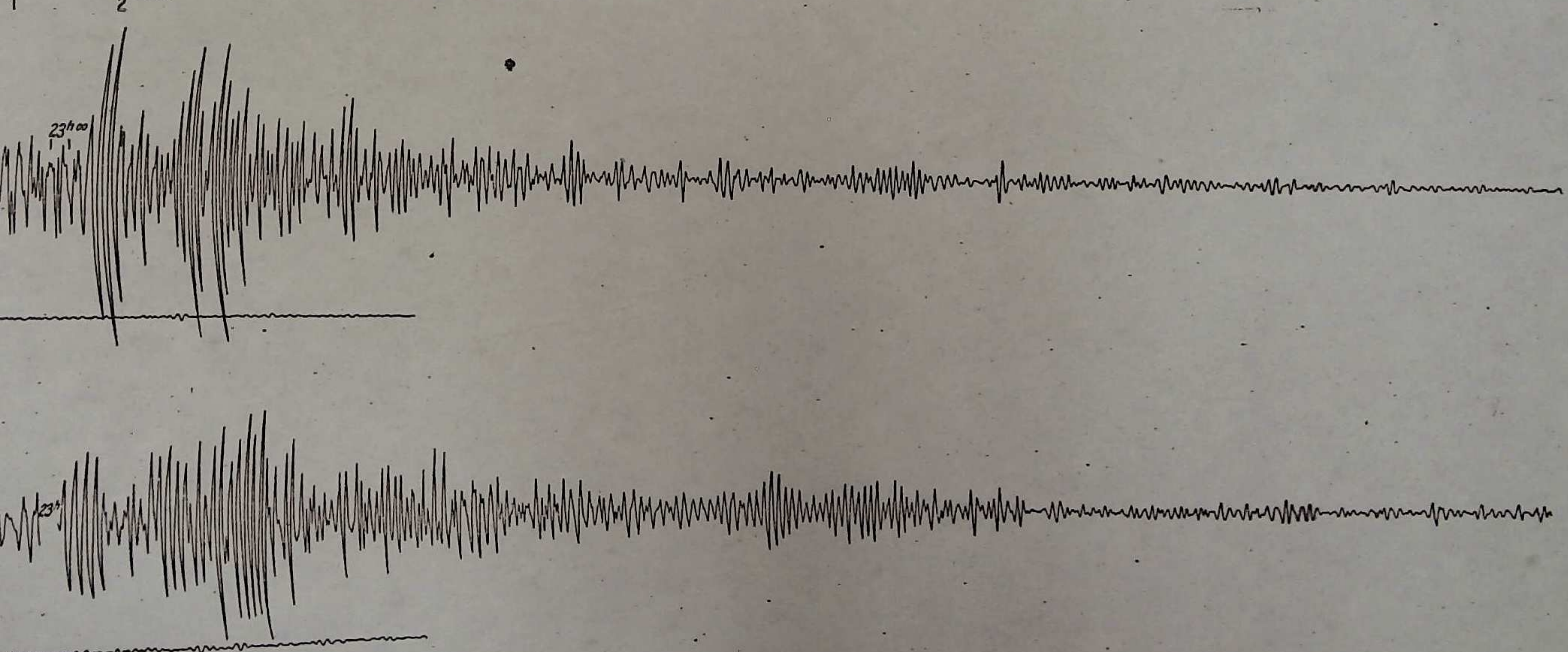
E-W Komponente



QUETTA, 30. Mai 1935



QUETTA, 30. Mai 1935.



QUETTA 30. Mai 1935

Fig. 12.

Verlag von S. Hirzel in Leipzig.